



Campo di NAIDE

Aggiornamento al 31/12/2014

Il campo di Naide è situato nell'offshore Adriatico circa 32 km a est di Cesenatico, a una profondità d'acqua di circa 36 m, nella concessione A.C21.AG evidenziata in Figura 2.

CONCESSIONE	SCADENZA	OPERATORE	TITOLARI	QUOTA	REGIONE
A.C21.AG	09/11/24	Eni	Eni	51%	Emilia-Romagna
			Edison	49%	

Il giacimento è costituito da una blanda monoclinale del bacino sedimentario plio-pleistocenico adriatico-romagnolo che s'immerge a NE e si estende per una superficie di circa 3.5 km². La serie mineralizzata è compresa tra i 1500 e 3000 m slm e interessa i livelli della serie PL-Q e PL-3 delle formazioni Carola e P.to Garibaldi (Figura 3).

Il campo di Naide è stato scoperto nel 1987 con il pozzo Naide 1; in seguito, nel 1988, è stato perforato il pozzo di appraisal Naide 2 per meglio definire l'assetto della struttura.

Nel luglio 2001 è stata presentata da Eni una domanda di pronuncia di compatibilità ambientale concernente la realizzazione di due pozzi da una monotubolare e la posa del relativo sealine di collegamento. Nel documento SIA si riportava un profilo di produzione, ottenuto dagli studi statico e dinamico di giacimento (modello Eclipse) dell'aprile 2000, che stimava riserve a vita intera pari a 1800 MSm³ producibili in 20 anni con un picco di produzione giornaliera di 350 kSm³/g.

La subsidenza massima, stimata in relazione a tale profilo e valutata con un modello geomeccanico del tipo Geertsma semianalitico, è stata pari a 5 cm (in corrispondenza del culmine del giacimento) dopo 20 anni dall'inizio produzione; alla stessa data il cono di subsidenza (linea d'isosubsidenza di 2 cm) è risultato estendersi per circa 2,5 km verso la costa. La distanza minima della linea d'isosubsidenza di 2 cm dalla costa è stata, quindi, pari a circa 29 km.



Per tale previsione sono stati utilizzati i parametri geomeccanici che, con le informazioni disponibili a tale data, venivano considerati come più rappresentativi del comportamento della formazione, in particolare:

- compressibilità uniassiale $C_m = 0,400 \cdot 10^{-4} \text{ bar}^{-1}$
- coefficiente di Poisson $\nu = 0,30$

In seguito al Decreto VIA n° 7486 del 22/07/02 che approvava il programma lavori presentato, nel 2004 è stato realizzato lo sviluppo del campo con la perforazione di due nuovi pozzi (Naide 3 e 4) da una struttura offshore di tipo monotubolare.

Il campo è entrato in produzione nel luglio 2005 con una portata iniziale di circa $450 \text{ kSm}^3/\text{g}$. Nelle Figura 4 e Figura 5 sono riportati gli andamenti storici delle portate di gas, d'acqua e della produzione cumulativa di gas (pari a 579 MSm^3) aggiornati al 31/12/2014.

L'esame dell'andamento della produzione cumulativa di gas ha mostrato già a fine 2008 (Figura 4) uno scostamento rispetto alle previsioni formulate nello studio iniziale di giacimento tale da rendere necessaria una revisione di quest'ultimo per meglio valutare i meccanismi produttivi e le potenzialità residue del campo. Il nuovo studio, fatto nel 2009 (rel. n° 004-2009 *Studio di Giacimento del marzo 2009*), ha rideterminato il volume del GOIP in 1026 MSm^3 con una riduzione di circa il 63% rispetto alla valutazione dell'aprile 2000.

Tale diminuzione del GOIP, una migliore conoscenza del campo e del contributo dell'acquifero hanno portato a stimare le riserve a vita intera in 713 MSm^3 , pari a circa il 40% della precedente valutazione (aprile 2000).

Come previsto nel programma lavori specificato nella relazione conclusiva del Gruppo di Lavoro istituito dal Ministero dell'Ambiente per il monitoraggio dei fenomeni geodinamici, nel corso del 2009 si è di conseguenza aggiornata la previsione di subsidenza basandosi sui risultati del nuovo modello statico e dinamico (Eclipse) di giacimento.

A tale scopo si è utilizzato un modello geomeccanico a elementi finiti (FEM) impiegando il codice di calcolo Abaqus (rel. *Eni-TERA n° 003-09 - Modello Elasto-Plastico di Subsidenza - Management Summary* del giugno 2009). Le simulazioni sono state protrate sino al 2050 (fine produzione 2019), in modo da considerare l'effetto dell'evoluzione della pressione nelle zone mineralizzate e in acquifero dopo la fine produzione.



L'analisi dei risultati per lo scenario di riferimento M2 ha portato alle seguenti conclusioni:

- il valore massimo di subsidenza è pari a 9 cm al 2019 e si mantiene pressoché costante nei 30 anni successivi;
- al 2019 la massima estensione del cono di subsidenza, calcolata come distanza del punto di massima subsidenza dalla linea d'isosubsidenza di 2 cm, è pari a 3 km; tale valore rimane costante per i 30 anni successivi (sino al 2050);
- il fenomeno si esaurisce a circa 30 km dalla linea di costa.

Nel 2013 è stata fatta un'ulteriore revisione dello studio di giacimento (rel. *TEOR 14/2013 - Aggiornamento dello studio di giacimento – Campo di Naide*) con rivalutazione del volume del GOIP che è stato stimato in 1406 MSm³; in aumento, quindi, di circa il 37% rispetto alla valutazione dell'aprile 2009. Nonostante tale aumento le riserve a vita intera del campo sono rimaste pressoché invariate, confermando quanto già stimato nello studio del 03/2009.

Il nuovo profilo di produzione, infatti, prevede il recupero entro il 2022 di 713 MSm³ (Figura 4) con una graduale chiusura dei pozzi dovuta all'alta percentuale di acqua prodotta.

La Figura 6 riporta il confronto tra il profilo di pressione calcolato con i modelli Eclipse del 2009 e del 2013 e le pressioni misurate nel livello principale del campo (livello PLQ-B+B2+C). Considerando la buona riproduzione delle misure di pressione da parte del modello Eclipse del 2013, si ritiene che le previsioni aggiornate sul comportamento futuro del campo in termini di produzione e pressione abbiano un elevato grado di affidabilità.

Nel corso del 2013 si è pure aggiornato il modello geomeccanico sulla base del nuovo studio di giacimento (rel. *Eni-TERA n° 11-2013 Campo di Naide - Modello Elasto-Plastico di Subsidenza - Management Summary*) secondo quanto prescritto dal Provvedimento Direttoriale MSE del 20 marzo 2008.

Questo nuovo aggiornamento ha sostanzialmente confermato le conclusioni dello studio precedente, in particolare (Tabella 1):

- il valore massimo di subsidenza risulta pari a 8 cm al 2023 (fine produzione) e si mantiene costante nei 27 anni successivi;



- al 2023 la massima estensione del cono di subsidenza, calcolata come distanza del punto di massima subsidenza dalla linea d'isosubsidenza di 2 cm, è pari a 3 km e tale valore rimane costante per i 27 anni successivi (2050 fine simulazione);
- il fenomeno si esaurisce a circa 30 Km dalla linea di costa (Figura 7 e Figura 8).

Tabella 1 – Risultati studio geomeccanico del 2013.

1 gennaio 2014		1 gennaio 2023		1 gennaio 2050	
Max sub (cm)	Max estensione (km)	Max sub (cm)	Max estensione (km)	Max sub (cm)	Max estensione (km)
6	3	8	3	8	3

A partire dai primi anni '70, Eni ha progettato e realizzato lungo la costa adriatica una rete di livellazione geometrica che, su richiesta degli Enti di Controllo a livello regionale e nazionale (Regione Emilia Romagna, Provincia di Ravenna, Comune di Ravenna e Ministero dell'Ambiente), viene rilevata da oltre un decennio con cadenza periodica. A partire dalla campagna 2011, dopo un intervallo di un anno nel 2010 (anno in cui non sono state fatte livellazioni), tale periodicità ha una cadenza triennale come raccomandato nelle "Linee Guida per lo Studio dei Fenomeni di Subsidenza nell'Ambito dei Progetti di Sviluppo Sostenibile di Campi ad Olio e Gas" emesse dal Dip. DMMMSA dell'Università di Padova nel 2007.

Le specifiche tecniche adottate sono quelle ora in uso per i rilievi della rete Eni e rispettano le indicazioni contenute nelle già citate linee guida emesse dall'Università di Padova. Eni, inoltre, ha affidato la certificazione della documentazione e della metodologia utilizzata a un ente esterno, che attualmente è il Dipartimento DICAM dell'Università di Bologna.

La rete di livellazione, rilevata nel 2014 è suddivisa nelle seguenti aree di attività:

- dorsale Adriatica, da Treviso fino a Pesaro, compreso lo sviluppo degli sbracci sul delta del Po, per un totale di circa 1100 km di sviluppo lineare;



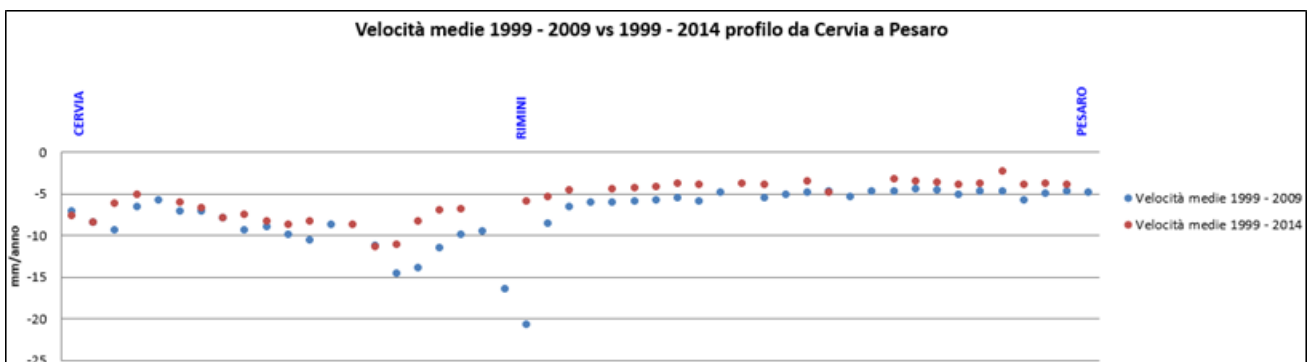
- tratto da Pesaro a P.to San Giorgio, per un totale di circa 220 km di sviluppo lineare;
- tratto Marche-Abruzzo, da P.to San Giorgio a Pescara, per un totale di circa 110 km di sviluppo lineare.

Le operazioni si sono svolte nel periodo compreso tra giugno e ottobre 2014 sotto la diretta supervisione di tecnici Eni e degli esperti dell'ente certificatore.

Si ritiene opportuno sottolineare che, sebbene vi siano punti di contatto tra i vari tratti di livellazione afferenti alla rete Eni, allo stato attuale non è possibile utilizzare in modo congiunto i valori di quota ottenuti sulle singole reti a causa della disomogeneità tra i capisaldi origine delle tre reti di livellazione. Per ovviare a tale situazione determinata da fattori ambientali (grandi distanze), su suggerimento dell'ente certificatore è stata realizzata una linea di stazioni permanenti CGPS disposte a distanze regolari tra Pineto e P.to Sant'Elpidio che, con il consolidamento dei dati CGPS, costituiranno una serie di capisaldi origine omogenei, tali da consentire d'ottenere misure di quota fra loro consistenti da Treviso a Pescara.

Per i capisaldi della tratta Cervia-Pesaro, i valori di velocità media d'abbassamento del suolo, stimati con regressione lineare dei dati relativi all'intervallo 1999-2014 (Figura 1), sono generalmente in leggera diminuzione rispetto ai corrispondenti valori calcolati per il periodo 1999-2009. Tale diminuzione di velocità è, mediamente di circa 2 mm/anno, e solo per pochi capisaldi supera detto valore.

Figura 1 –Tratto Cervia-Pesaro: velocità medie di subsidenza





Si deve osservare che i dati di livellazione, misurati sul singolo caposaldo, non sono di solito sufficienti per caratterizzare la distribuzione areale della subsidenza. Le misure sul singolo caposaldo, infatti, possono essere talvolta alterate da “disturbi” accidentali intervenuti nel tempo sul manufatto su cui i capisaldi stessi sono stati materializzati.

Al fine d’ottenere una rappresentazione areale della subsidenza o della velocità media di subsidenza di una certa area è necessario avere, quindi, misure di livellazione di più capisaldi, per la cui interpretazione può convenire poi una suddivisione in opportune classi di valori, come si dirà nel seguito.

Per il tratto di costa da Cervia a Pesaro, monitorato per accertare possibili impatti indotti dalla coltivazione dei campi a gas antistanti al litorale emiliano-romagnolo, sono disponibili, dopo la campagna del 2014, 12 serie di misure. Queste ultime sono state eseguite con cadenza annuale dal 1999 al 2009 (10 serie) e, successivamente a partire dal 2011, con cadenza triennale. La campagna del 2001 non è utilizzabile essendo stata acquisita con un’origine diversa rispetto a tutte le altre.

Le misure sui singoli capisaldi sono state elaborate tramite regressione lineare; le corrispondenti velocità medie annue di abbassamento del suolo V_a ¹ sono state poi raggruppate nelle seguenti 5 classi:

- classe 4: include i capisaldi con $V_a > 10$ mm/a;
- classe 3: include i capisaldi con $5 \leq V_a < 10$ mm/a;
- classe 2, include i capisaldi con $3 \leq V_a < 5$ mm/a;
- classe 1: include i capisaldi con $0 \leq V_a < 3$ mm/a;
- classe 0: include i capisaldi con $V_a < 0$ (sollevamento del suolo).

L’elaborazione con questo approccio delle misure di livellazione del periodo 1999-2014 mostra per l’area in esame un quadro di generale abbassamento, anche se gli attuali valori di velocità di subsidenza sono più contenuti e generalmente in leggera diminuzione rispetto a quelli misurati nelle campagne fatte fino al 2011. Il 50% dei punti, infatti, ricade nella classe

¹ Nel presente rapporto di norma le velocità di subsidenza (i.e di abbassamento della superficie) sono rappresentate con valori negativi. Per comodità d’interpretazione, però, nell’elenco che segue, come pure nei due paragrafi successivi, le velocità di subsidenza sono state rappresentate con valori positivi.



2, il 45% dei punti in quella 3 e solo il 5% (due capisaldi) hanno valori di V_a di poco superiori a 10 mm/a (11,3 mm/anno come valore massimo).

Le campagne future potranno eventualmente meglio definire tale trend d'abbassamento, anche se non si possono escludere cedimenti locali dovuti a instabilità dei capisaldi stessi che saranno, comunque, oggetto di verifica durante le prossime campagne di misura.

Il confronto tra i dati CGPS della stazione che insiste sull'area in esame (Rubicone, la cui velocità media di subsidenza, stimata con regressione lineare e relativa allo stesso periodo della campagna di livellazione, è pari a 1,5 mm/a) mostra valori che, fatte salve le diverse precisioni in termini di ripetibilità e considerato che si tratta di misurazioni spazialmente non coincidenti, sono assolutamente compatibili.

Per completare il monitoraggio altimetrico del tratto di costa antistante alle piattaforme si è proceduto, inoltre, ad aggiornarne la copertura SAR (settembre 2014) per un'analisi integrata con i dati della campagna di livellazione del 2014 (Appendice 1). Il confronto mostra come i profili altimetrici (Figura 9), pur se ottenuti con sistemi di monitoraggio molto diversi, abbiano un andamento del tutto comparabile, anche se la diversa origine non consente confronti in valore assoluto (vedi shift tra i diversi profili).

Si è, quindi, proceduto all'integrazione dei dati SAR e di livellazione con i dati altimetrici forniti dalle stazioni CGPS installate nei siti onshore del tratto di costa antistante alle piattaforme.

Le attività di monitoraggio sono state integrate negli ultimi anni con le misure di un numero crescente di stazioni CGPS installate nelle piattaforme offshore. Dal 2007, infatti, sono state installate stazioni CGPS sulle piattaforme di Regina e Calpurnia (giugno 2007), Anemone B (agosto 2007), Annalisa (ottobre 2007), Calipso, Clara Est e Clara Nord (novembre 2007); Annamaria A e Annamaria B (gennaio 2010), Clara W (ottobre 2010) Guendalina (agosto 2011); le stazioni CGPS di Naide e PCC risultano, invece, operative dal luglio 2005, mentre la postazione Naomi-Pandora è attiva dal giugno 2002. Nel 2014, sono state installate anche le nuove stazioni CGPS di Elettra, Fauzia, la cui serie storica è troppo breve per consentire valutazioni specifiche.



Il sistema di monitoraggio è stato, poi, ulteriormente potenziato con la realizzazione lungo la costa, nel tratto prospiciente i campi sopracitati, di 3 stazioni altimetriche SSU (Satellite Survey Unit) equipaggiate ciascuna con un CGPS, un caposaldo di livellazione geometrica e 2 bersagli radar solidalmente connessi tra loro tramite una trave di cemento armato.

Le 3 stazioni SSU sono state realizzate nelle Centrali Eni di Rubicone, di Fano e di Falconara nel dicembre 2007 (Appendice 2); negli stessi siti sono stati perforati tra ottobre e dicembre 2008 anche 3 pozzi assestometrici per il monitoraggio della compattazione superficiale del terreno. Tali stazioni si sono aggiunte a quelle preesistenti, installate più a Nord lungo la costa ravennate, nelle località di Fiumi Uniti, di Smarlacca e di Spinaroni.

Inoltre, come detto in precedenza, sono state monumentate altre 4 stazioni CGPS, in Ortona, Pineto, Grottammare e P.to Sant'Elpidio, il cui completamento è avvenuto nel dicembre 2009, tutte equipaggiate con 2 bersagli radar e con un caposaldo di livellazione.

Allo stato attuale la stazione di Ortona non è più operativa dal 19 aprile 2013 per l'alienazione dell'area.

Analogamente a quanto avviene per la livellazione, anche i dati del monitoraggio CGPS sono validati da un ente esterno. Attualmente quest'attività è svolta dall'Università degli Studi di Bologna, facoltà di Fisica.

I dati CGPS acquisiti sulla piattaforma Naide, certificati fino al 2013 e in fase di certificazione fino al 2014, sono stati elaborati con il software scientifico Bernese dalla ditta e-GEOS.

Per rappresentare in grafici plano-altimetrici la serie storica più completa di misure, ovvero quella estesa al 31/12/2014 (Figura 10) sono stati utilizzati in questa relazione anche i dati non certificati, vista la generale convergenza di questi ultimi con quelli certificati, come mostrato nella seguente Tabella 2.

Tabella 2 – Confronto dati CGPS certificati e non certificati aggiornati al 31/12/2013

Stazione	Dati Non Certificati			Dati Certificati			Delta (Non Cert.-Cert.)		
	Vtl-N mm/a	Vel-E mm/a	Vel-H mm/a	Vel-N mm/a	Vel-E mm/a	Vel-H mm/a	D-N mm/a	D-E mm/a	D-H mm/a
Naide	17,41	20,72	-4,02	17,47	20,94	-3,45	-0,06	-0,22	-0,57



A questo proposito è opportuno precisare che l'analisi e l'interpretazione degli andamenti nel tempo delle misure altimetriche CGPS, da utilizzarsi per una verifica/taratura dei modelli previsionali di subsidenza, non può essere considerata sufficientemente attendibile per dataset relativi a periodi di osservazione inferiori ai 36 mesi, come indicato dall'Ente che certifica tali dati con cadenza biennale.

L'Ente certificatore, infatti, verifica e valida i dati registrati al fine di avere un numero sufficiente di osservazioni per il corretto inquadramento delle componenti periodiche, della loro incidenza sulle misure e poter filtrare il "rumore" che per piccole velocità di subsidenza è dello stesso ordine di grandezza del valore del fenomeno fisico misurato.

Serie storiche di durata inferiore ai 36 mesi possono, quindi, essere utilizzate solo per confrontare il trend degli andamenti temporali delle misure altimetriche con quello dei valori calcolati da modello previsionale, qualora si abbia una subsidenza caratterizzata da valori sufficientemente elevati. In questi casi sarà possibile monitorare solo eventuali anomalie di trend, ma non procedere a un confronto diretto dei valori attesi da modello vs. i valori misurati.

In generale:

- dataset < 12 mesi: solo follow up per monitoraggio dei dati acquisiti
- dataset di 12÷36 mesi e
 - piccoli valori di subsidenza attesi: analisi tendenziale del fenomeno e monitoraggio delle anomalie verso il trend previsionale;
 - grandi valori di subsidenza attesi: analisi tendenziale del fenomeno per calibrazione del modello previsionale;
- dataset > 36 mesi: analisi di trend e calibrazione dei modelli geomeccanici confrontando il dato di velocità di subsidenza misurato (depurato dalla velocità di subsidenza naturale) e i valori dei modelli previsionali.

Le elaborazioni sono state fatte con software scientifico Bernese 5.0, strategia OBS-MAX, utilizzando i prodotti finali (effemeridi precise e file del polo) messi a disposizione dall'IGS (International GNSS Service). Nel corso del 2013, a seguito del rilascio del nuovo sistema di riferimento, sono stati rielaborati tutti i dati secondo il sistema ITRF2008-IGB08, al quale fanno riferimento i grafici della presente relazione.



Per le nostre elaborazioni il sistema di riferimento è materializzato dalle stazioni appartenenti alla rete EUREF disponibili tra: Bucarest, Genova, Graz, Matera, Medicina, Padova, Penc, Sofia, Torino, Zimmervald. L'eliminazione degli outlier delle serie storiche è effettuata mediante test a 3 SIGMA iterativo.

Nel caso di Naide, sulla base di una serie storica superiore ai 36 mesi, è possibile stimare una velocità media di subsidenza totale² misurata dal CGPS pari a -3.8 mm/a (Figura 10), sostanzialmente in linea con il valore (-4,0 mm/a al 2013) riportato nella precedente relazione d'aggiornamento.

I valori di subsidenza previsti con il modello geomeccanico del 2013 sono stati confrontati con quelli misurati dalla stazione CGPS, senza che questi ultimi siano stati depurati della componente di subsidenza naturale. Come si vede dalla Figura 12, lo scenario simulato riproduce in maniera accurata le variazioni altimetriche rilevate dal CGPS, confermando così l'attendibilità dell'attuale modello di subsidenza e il carattere cautelativo delle previsioni fornite.

In sintesi, le indicazioni del modello previsionale di subsidenza e i monitoraggi fatti da Eni hanno confermato come eventuali fenomeni di subsidenza connessi alla produzione di gas dal campo di Naide siano di piccola entità e, soprattutto, non abbiano alcun impatto sull'andamento altimetrico del tratto di costa antistante.

Si segnala infine che:

- a) in Figura 13 viene presentata una scheda riassuntiva con i dati di campo e lo status dei monitoraggi;
- b) in Figura 14 viene presentato un particolare della rete di monitoraggio Eni.

² La "subsidenza totale CGPS" rappresenta in questo caso l'abbassamento altimetrico che il fondale marino subisce in corrispondenza della piattaforma su cui è installato il CGPS. A determinare tale "subsidenza totale" concorrono vari fenomeni: la compattazione di strati profondi per estrazione di gas (subsidenza antropica), movimenti tettonici e costipazione naturale dei sedimenti (subsidenza naturale), compattazione dei sedimenti più superficiali a fondo mare per effetto del peso della piattaforma. Quest'ultimo fenomeno è evidente soprattutto nel periodo immediatamente successivo all'installazione della piattaforma stessa.

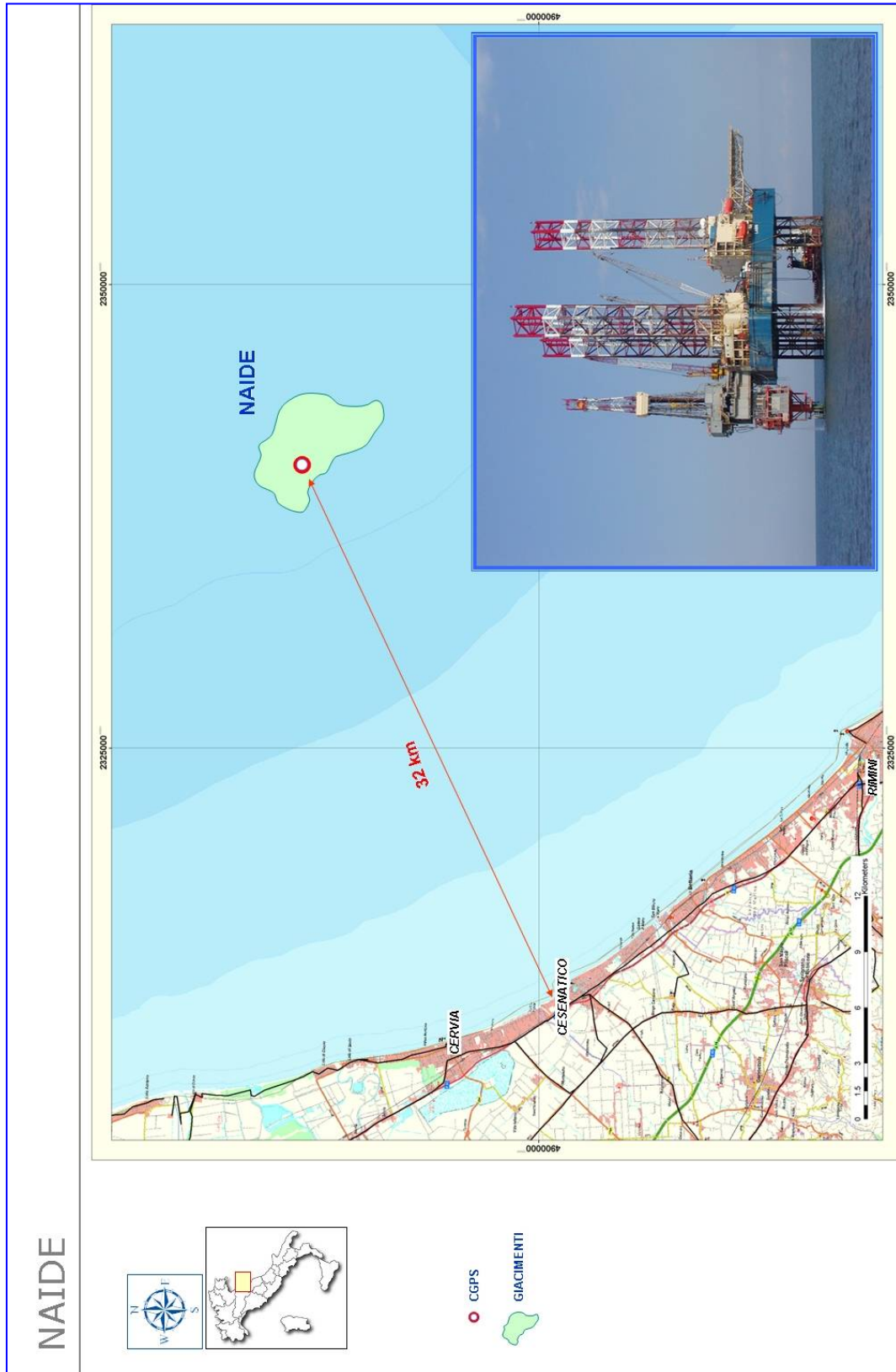
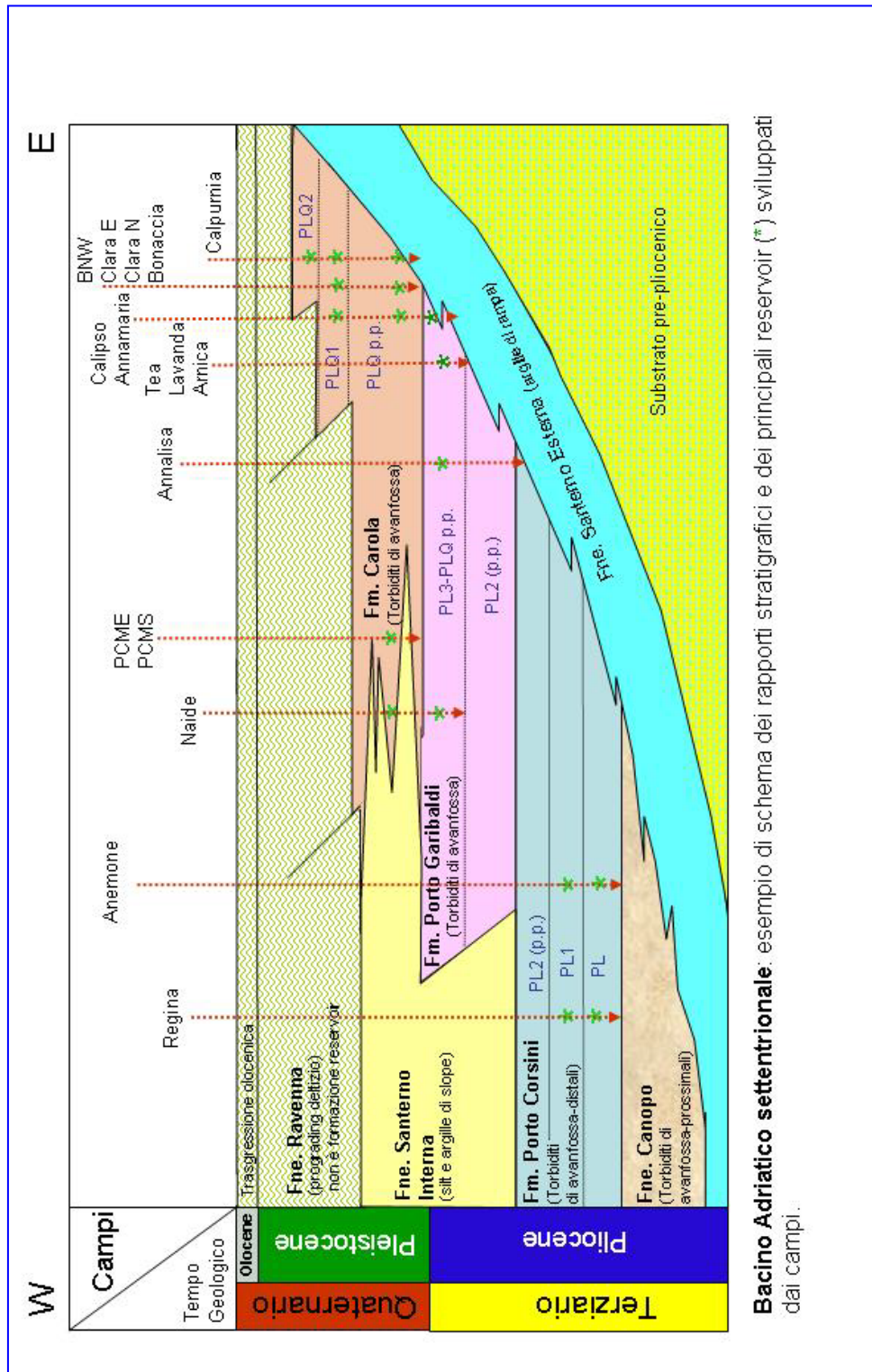


Figura 2 - Ubicazione del campo di Naide



Bacino Adriatico settentrionale: esempio di schema dei rapporti stratigrafici e dei principali reservoir (*) sviluppati dai campi.



CAMPO DI NAIDE	Profilo di Produzione calcolato da Modello ECLIPSE 3D 2009	Gas.Prodotto reale al 31-12-2014	Profilo di Produzione calcolato da Modello ECLIPSE 3D 12- 2013	Profilo di Produzione calcolato da Modello ECLIPSE 3D 2009	Gas.Prodotto reale al 31-12-2014	Profilo di Produzione calcolato da Modello ECLIPSE 3D 12- 2013	Percentuale Gas Prodotto vs Riserve calcolate da modello 3D del 2013
	(Cumulativa) MSm3	(Cumulativa) MSm3	(Cumulativa) MSm3	(Produzione anno) MSm3	(Produzione anno) MSm3	(Produzione anno) MSm3	
2004							
2005	69	60	60	69	60	60	8%
2006	185	185	185	116	125	125	26%
2007	265	265	265	80	80	80	37%
2008	333	333	333	68	68	68	47%
2009	395	388	388	62	55	55	54%
2010	448	438	438	53	50	50	61%
2011	499	478	478	51	40	40	67%
2012	540	515	515	41	37	37	72%
2013	582	556	557	42	41	42	78%
2014	618	579	595	36	23	37	81%
2015	646		624	28		30	
2016	672		647	26		23	
2017	691		667	19		20	
2018	704		682	13		15	
2019	713		696	9		14	
2020			705			9	
2021			713			8	
2022			715			2	
2023							
2024							

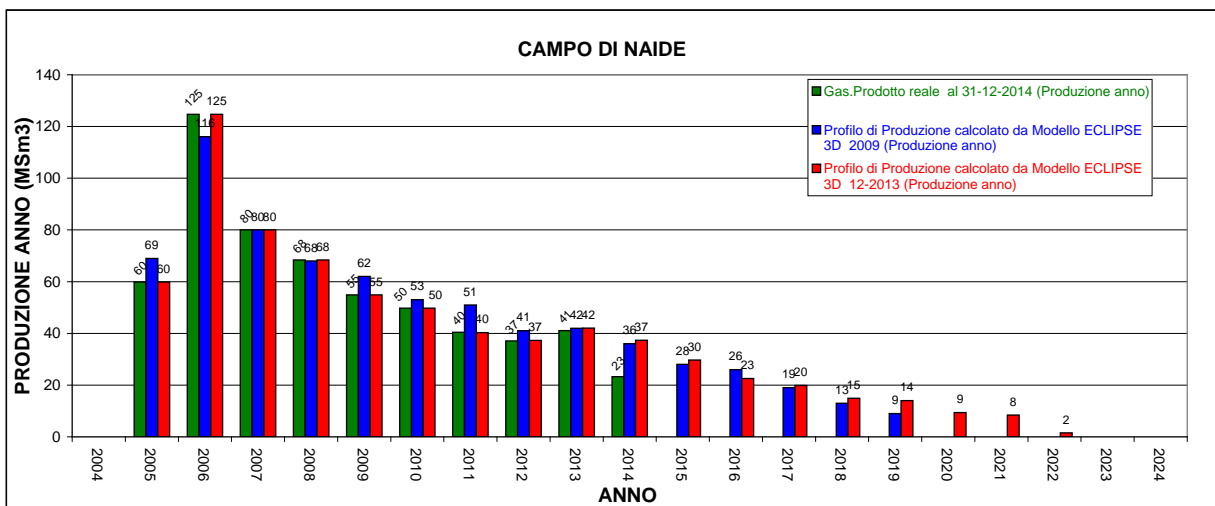
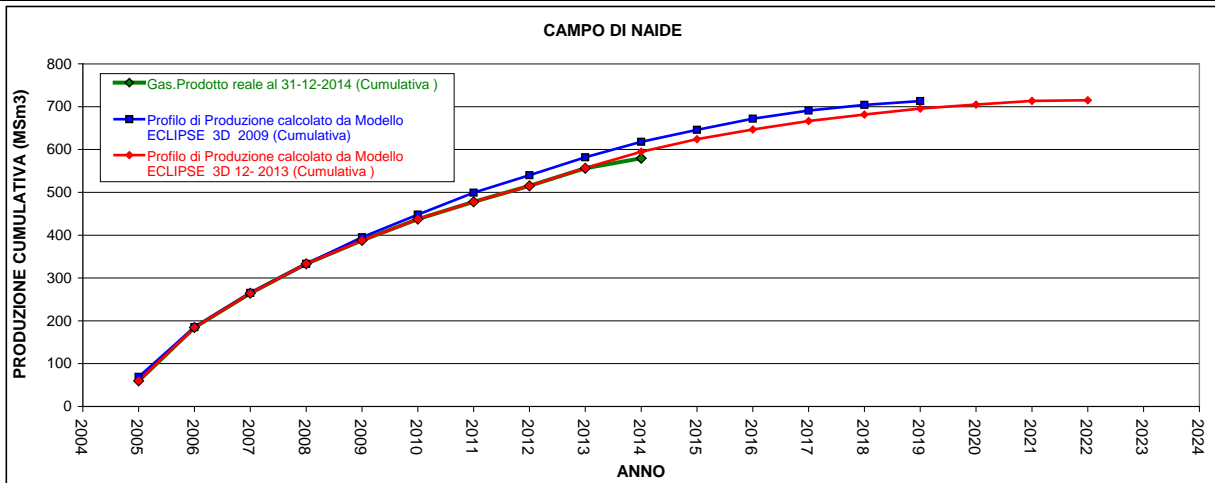


Figura 4 – Campo di Naide: tabella e grafico di produzione vs. modelli Eclipse

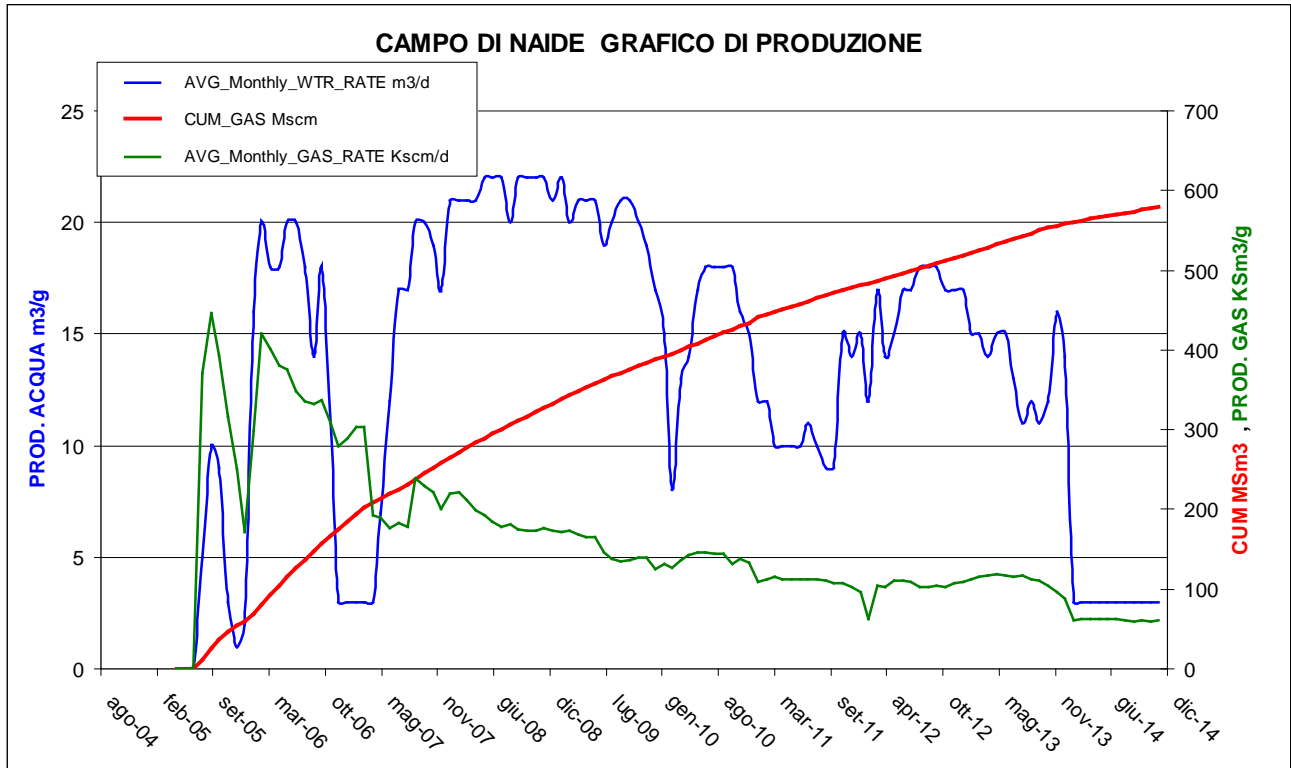


Figura 5 – Campo di Naide: produzione storica

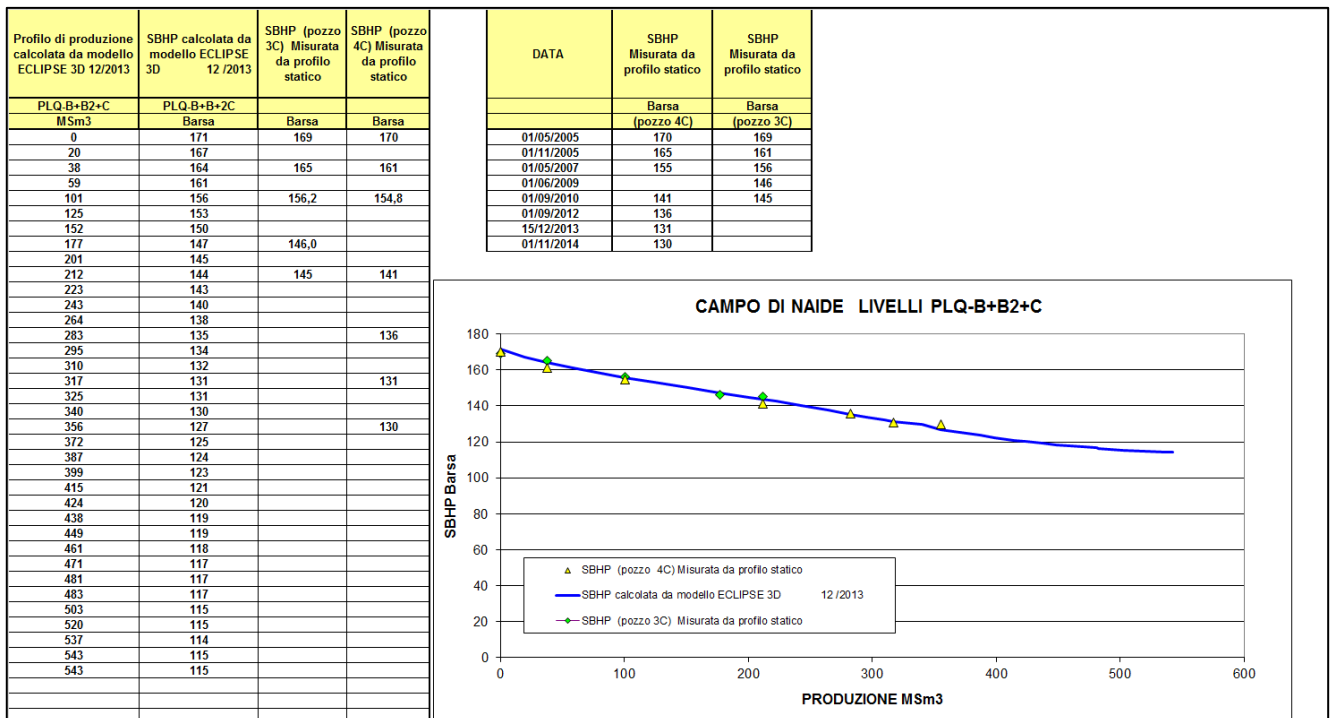


Figura 6 – Campo di Naide: confronto tra dati di pressione da profili statici e modello Eclipse



(liv. PLQ-B+B2+C)

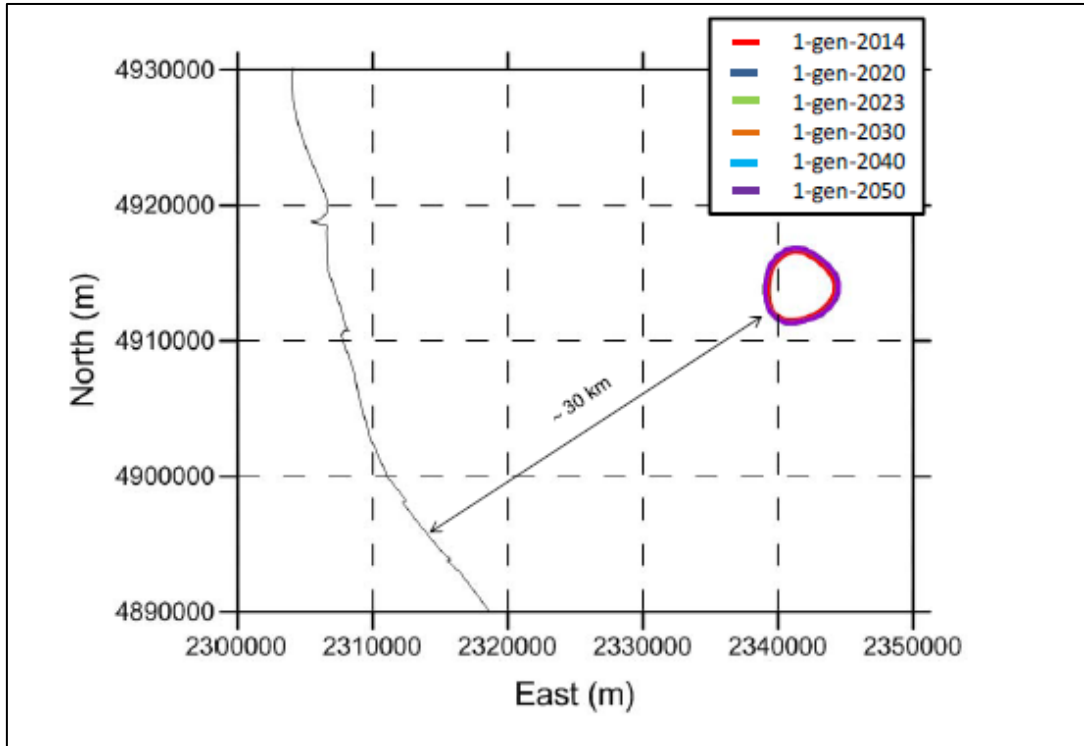


Figura 7 – Campo di Naide: evoluzione nel tempo della linea di isosubsidenza 2 cm per diversi step temporali durante e dopo la vita produttiva del campo (fine produzione al 2023)

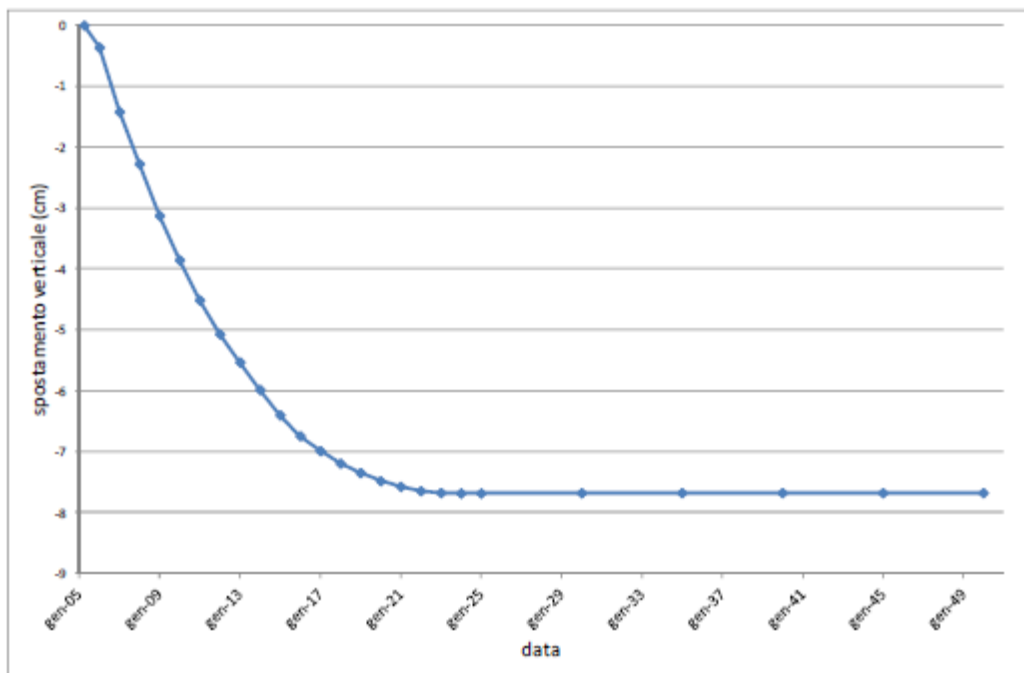


Figura 8 -Campo di Naide: evoluzione nel tempo del valore di massima subsidenza

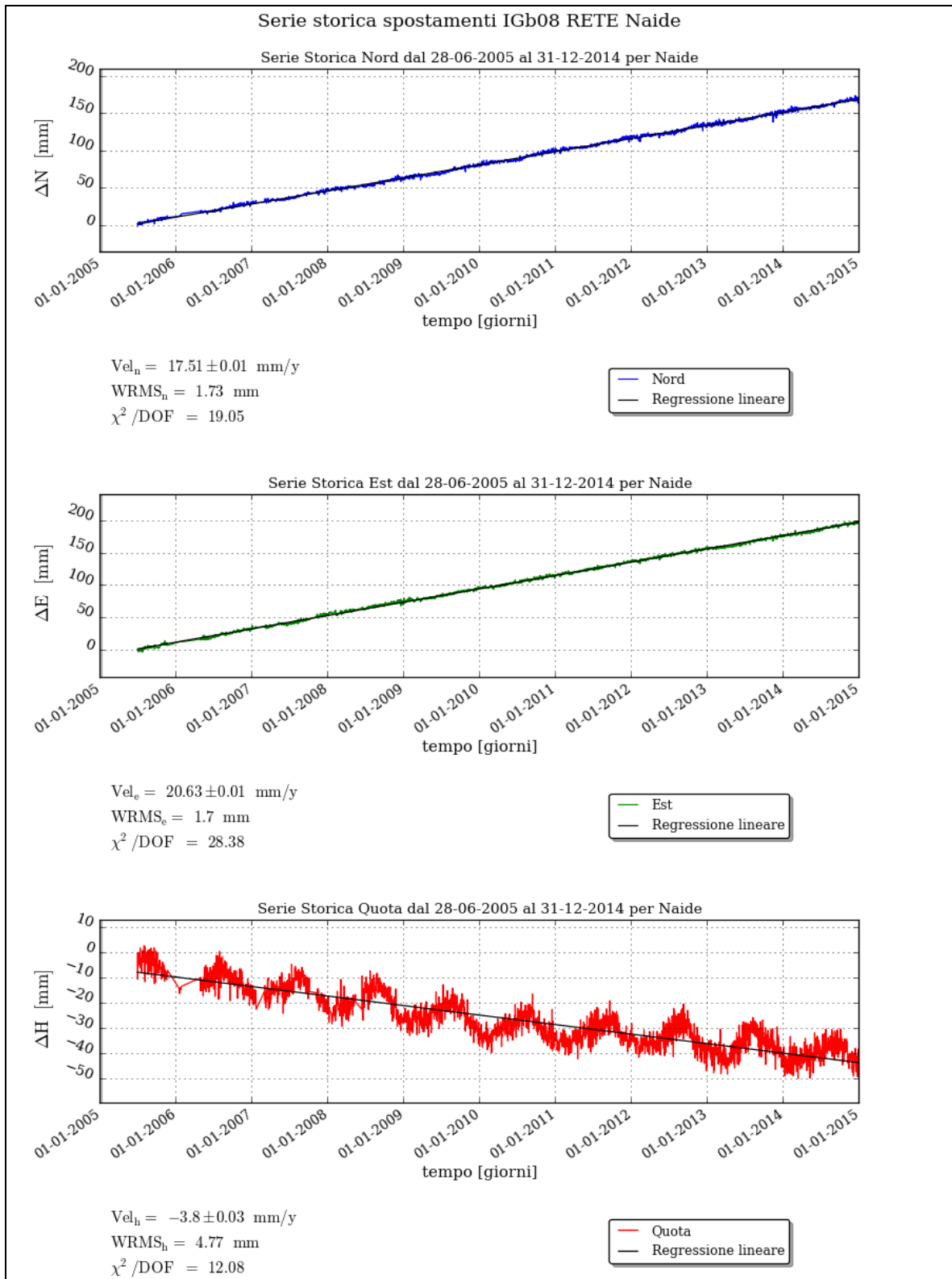


Figura 10 – Campo di Naide: serie storiche plano-altimetriche CGPS



CAMPO	Inizio produzione	Fine Produzione	Riserve prodotte @ dic.2014	Subsidenza prevista a fine produzione (scenario di riferimento)	CGPS		
					inizio registrazione	velocità media (mm/a) @ fine 2014;	mesi di registrazione
NAIDE	2005	2022	81%	-8cm al 2023	giu-05	-3,8	114
PCM	2001	2016	94%	-6,8cm al 2017	lug-05	-3,9	113
REGINA	1997	2016	91%	-135cm al 2014	giu-07	-29,4	90
CALPURNIA	2000	2020	95%	-50cm al 2035	giu-07	-4,5	90
ANEMONE	1978	2026	95%	-33cm al 2020	giu-07	-4,9	90
ANNALISA	2000	2023	83%	-10cm al 2027	ott-07	-4,7	87
CLARA EST	2000	2034	35%	-55cm al 2035	nov-07	-13,5	86
CLARA NORD	2000	2020	80%	-65cm al 2035	nov-07	-22,5	86
BARBARA-NW	1999	2029	70%	-76cm al 2030	gen-08	-28,7	84
CALIPSO	2002	2020	87%	-32cm al 2035	nov-07	-17,8	86
ANNAMARIA "B"	2009	2039	32.6%	-51cm al 2040	gen-10	-81,0	60
BONACCIA	1999	2035	57%	-421cm al 2036	dic-07	-87,2	85
GUENDALINA	2011	2023	55%	-3cm al 2023	ago-11	-6,4	40
NAOMI-PANDORA	2001	2037	31%	-2cm al 2038	giu-02	-1,4	150
TEA-LAVANDA-ARNICA	2007	2019	93%	-3cm al 2020	nov-07	-5,0	86
FAUZIA	2014	2027	3%	-9cm al 2030	set-14	nd	3
ELETTRA	2014	2025	12%	-16cm al 2035	lug-14	nd	5

Figura 1 - Velocità medie di "subsidenza totale" calcolate per tutta la serie storica di dati CGPS vs. modelli

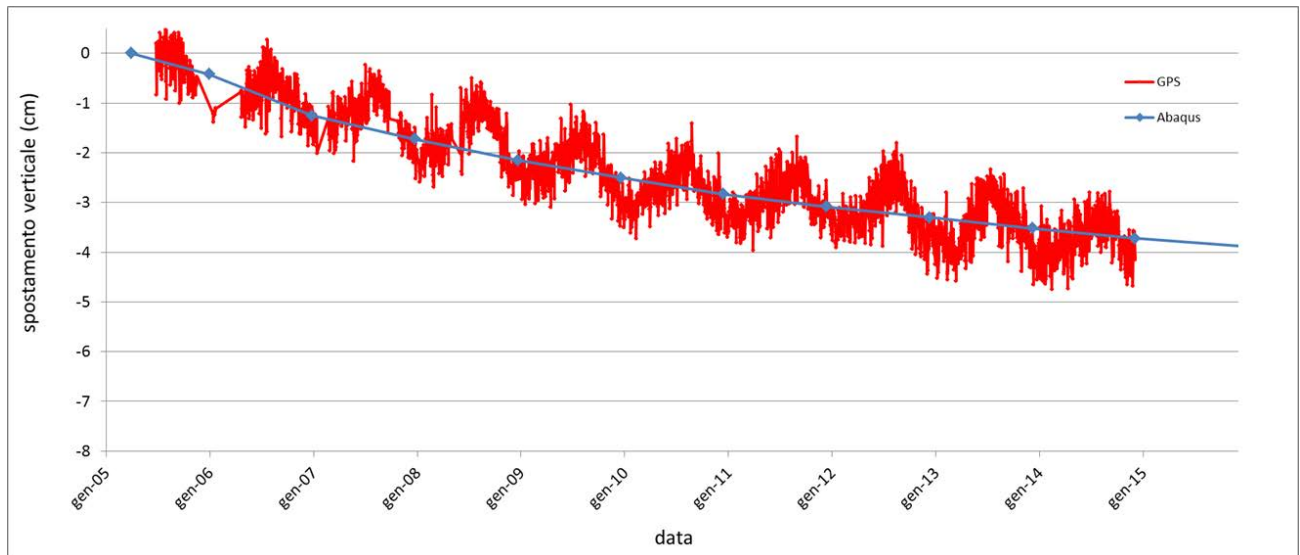


Figura 2 – Campo di Naide: subsidenza misurata e calcolata in corrispondenza della stazione CGPS



campo NAIDE (J.V. Eni 51% - Edison Gas 49%)			
DATI DI CAMPO		DECRETO VIA n. 7486 del 22 LUGLIO 2002	
UBICAZIONE	offshore - 32 Km a E di Cesenatico	AGGIORNAMENTO MODELLO DI GIACIMENTO E SUBSIDENZA (NAIDE)	
PROFONDITA' FONDALE	36 m		
LITOLOGIA	silt-sabbie fini in livelli sottili	SIA	
FORMAZIONE RESERVOIR	Carola - Pt. Garibaldi	STUDIO DI GIACIMENTO	MOD. STATICO E DINAMICO ECLIPSE 3D "APRILE '00"
ZONA MINERARIA	PLQ- PL3	RISERVE (MSm3)	1800
PROFONDITA' RESERVOIR	1500 - 3000 (TVDS)	MOD. GEOMECCANICO	GEERTSMA SEMIANALITICO @ 2000
TIPO DI PIATTAFORMA	Monotubolare	MAX SUBS AL CENTRO (cm)	5 @ 2022
CARATTERISTICHE GEOLOGICHE	liv. reservoir in corpo conoidale	MAX DIST. DAL CULMINE (Km)	2,5 @ 2022
		ULTIMO AGGIORNAMENTO	
		MOD. STATICO E DINAMICO ECLIPSE 3D "DICEMBRE '13"	715
		ELEMENTI FINITI (F.E.M.) @ DICEMBRE 2013	
		8 @ 2023	
		3 @ 2023	
Note: il campo è entrato in produzione nel 2005			
CONCESSIONE		STATUS ATTUALE DEI MONITORAGGI	
AC21.AG	D.M @ 7-2002 @ 31 dic 2014	ACQUISITI I DATI DI LIVELLAZIONE SUL TRATTO DI COSTA (DORSALE ADRIATICA) ANTISTANTE I CAMPI NEL PERIODO 1998-2009, 2011 e 2014.	
DATA SCADENZA CONCESSIONE	09/11/2024	I DATI SONO STATI CERTIFICATI (fino al 2011) DALL'UNIVERSITA' DI BOLOGNA - DICAM	
N. POZZI	2	IL PROSSIMO RILIEVO DELLA " DORSALE ADRIATICA" SARA' EFFETTUATO NEL CORSO DEL 2017 NEL TRATTO DI COSTA ANTISTANTE I GIACIMENTI	
RISERVE TECNICHE A VITA INTERA (MSm3)	1800	LIVELLAZIONI	NON PRESCRITTI
START UP PRODUZIONE	giu-05	MARKERS	OPERATIVO DAL 2005
FINE PRODUZIONE PREVISTA	2024	CGPS	
GAS PRODOTTO (MSm3)	579	SAR	ACQUISITO AGGIORNAMENTO COPERTURA SAR @ SETT.2014 DEL TRATTO DI COSTA ANTISTANTE LA PIATTAFORMA PER ANALISI INTEGRATA DEI DATI ALTIMETRICI E PER L'INSERIMENTO DELLA P.MA NAIDE NEL PROGRAMMA DI MONITORAGGIO DELLA SUBSIDENZA ATTUALMENTE IN CORSO IN MOLTI GIACIMENTI DELL'ADRIATICO
% RISERVE PRODOTTE	81%		

Figura 3 – Campo di Naide: scheda di sintesi



Figura 4- Particolare della rete di monitoraggio Eni



Appendice 1: aggiornamento dati SAR 2003-2014

L'analisi dei dati SAR ha interessato complessivamente tre data-set (Fig.1A) suddivisi geograficamente in:

1. Area di Ravenna da Porto Tolle a Cervia;
2. Area di Rimini da Cervia a Cattolica;
3. Area di Ancona da Cattolica a Civitanova Marche.

In tali aree, che presentano una piccola zona di sovrapposizione sufficiente a garantire continuità nei dati, sono ubicate le seguenti stazioni CGPS della rete Eni:

- Area di Ravenna: stazioni di Manara, di Smarlacca, di Spinaroni e di Fiumi Uniti;
- Area di Rimini: stazione di Rubicone;
- Area di Ancona: stazioni di Fano e di Falconara.

La calibrazione dei dati SAR è stata fatta con le misure CGPS acquisite nelle stazioni poste all'interno delle aree analizzate, partendo da quelle con la serie storica di dati più consistente (Smarlacca, Spinaroni e Fiumi Uniti dell'area di Ravenna).

Per il processo di calibrazione si è impiegata la misura della componente verticale della velocità d'abbassamento del suolo dell'area SAR più a nord (area ravennate), utilizzando in particolare le misure della stazione di Smarlacca. I dati acquisiti a Fiumi Uniti, a Spinaroni e in tutte le altre stazioni sono stati impiegati esclusivamente per la verifica dei risultati ottenuti.

L'analisi e il confronto dei SAR, non calibrati e acquisiti in un'area circolare (raggio di circa 150 m) intorno alla stazione CGPS di Smarlacca, hanno mostrato come questi sottostimino la componente verticale della velocità media d'abbassamento di -3,0 mm/a rispetto alla misura CGPS; per tale motivo ai valori di detta velocità media ottenuti con la tecnologia SAR è stata applicata una correzione pari a -3,0 mm/a.

Si sono poi confrontati tali dati SAR con le misure dei CGPS di Manara, Smarlacca e Spinaroni considerando i punti SAR disponibili in un'area circolare (raggio pari a 200 m) intorno a

tali stazioni. Il confronto ha mostrato differenze inferiori a 1 mm/a tra le misure CGPS e i dati SAR calibrati, confermando la bontà della calibrazione effettuata.

Analogamente a quanto effettuato anche negli anni precedenti, tutti gli altri data-set SAR, acquisiti a sud di quello dell'area ravennate, sono stati calibrati confrontando tra loro le componenti verticali della velocità d'abbassamento del suolo nelle rispettive aree di sovrapposizione. Tale confronto mostra mediamente una differenza di circa -3 mm/a in ognuno dei data-set analizzati. Detta differenza è stata ovviamente corretta nel processo di calibrazione.



Fig.1A – Mappa calibrazione dati SAR

Per verificare la correttezza di tutto il processo, sono state poi confrontate le velocità medie dei punti SAR, ricadenti in un raggio di 200 metri dalle postazioni CGPS di Fano e di Falconara (area di Ancona), con le velocità misurate dai CGPS, anche se per periodi inferiori alla serie storica SAR. La differenza riscontrata è stata inferiore a 2 mm/a, valore che, considerata anche la diversa scala temporale, ricade nel campo d'errore strumentale di entrambi i sistemi di misura.

Nella zona situata nell'intorno della stazione CGPS di Rubicone (area SAR di Rimini), i dati SAR, mostrano un movimento verticale d'abbassamento fino al 2008 e di sostanziale stabilità poi per il periodo successivo. Le misure CGPS di detta stazione, installata nel dicembre 2007, confermano invece la sostanziale stabilità della zona a parità di osservazione temporale. Si può ritenere, quindi, che la differenza di velocità media riscontrata tra i dati SAR e quelli CGPS (pari a circa 2 mm) sia dovuta al diverso periodo di osservazione. Per tale motivo non si può fare un confronto diretto tra le velocità SAR e quelle CGPS senza avere opportunamente definito i tempi di riferimento. Per controllare il trend regionale dell'intera area in esame, è stata fatta un'analisi delle differenze tra la mappa d'interpolazione dati del data-base 2003-2013 e la corrispondente mappa d'interpolazione dati del data-base 2003-2014 (per l'interpolazione si è impiegato l'algoritmo IDW – Inverse Distance Weighted in ambiente GIS). Come rappresentato nelle Fig. 2A e Fig. 3A, non ci sono evidenti differenze di valori per l'intera area, se non nella zona adiacente al porto di Ravenna, per la quale, dopo attenta analisi, si è riscontrata una mancanza di dati per la scarsa coerenza del segnale SAR. Ciò ha prodotto un artefatto numerico, privo di significato fisico, nelle relative mappe d'interpolazione.

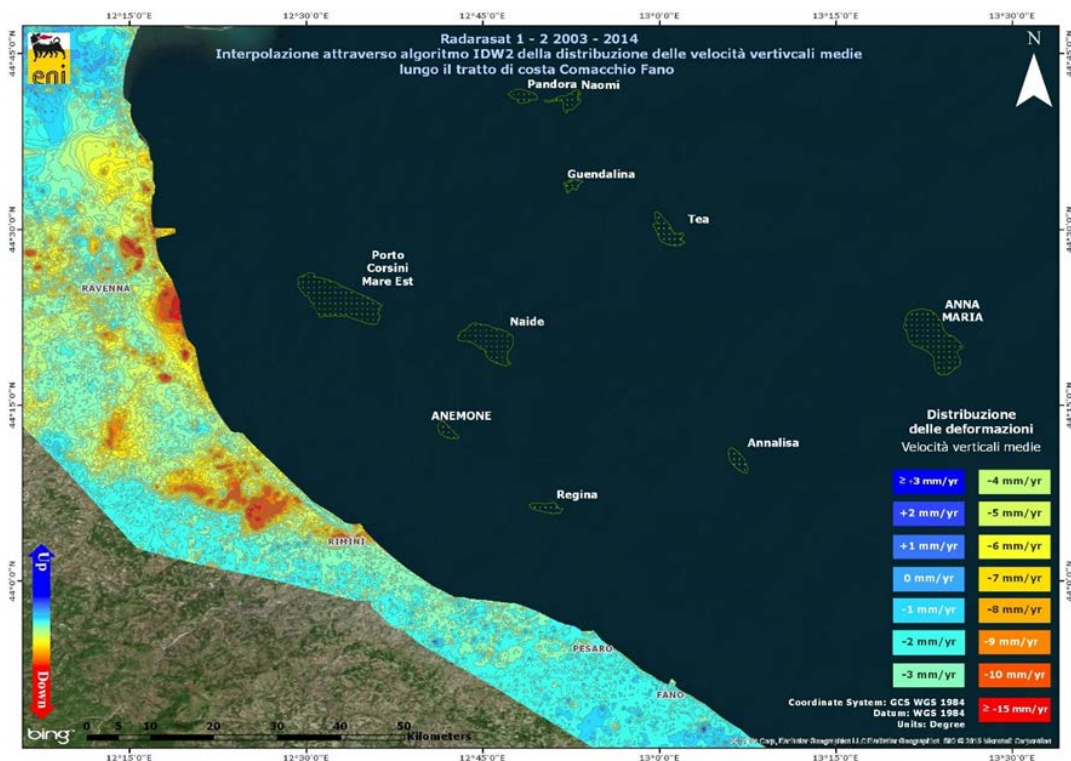


Fig. 2A – Tratto di costa da Comacchio a Fano: interpolazione IDW (Inverse Distance Weighted) dei dati RadarSat 1 -2 per il periodo 2003 – 2014 con il Tool Math – Spatial Analyst di ArcGIS

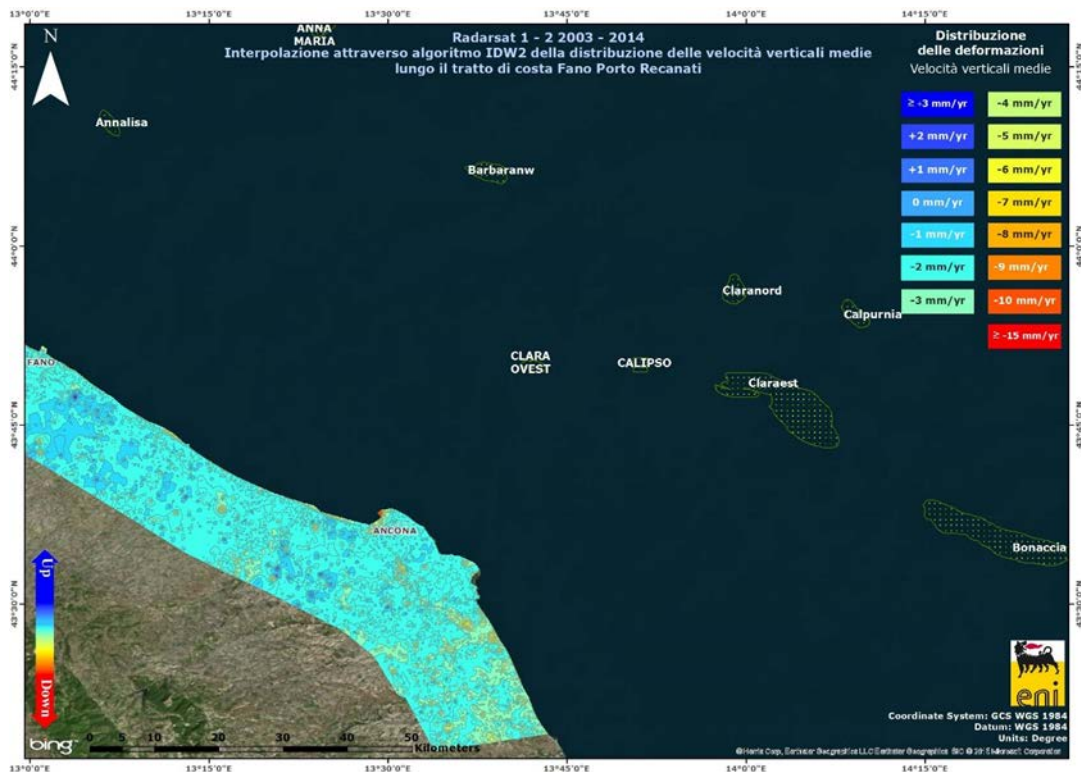


Fig. 3A – Tratto di costa da Fano a Porto Recanati: interpolazione IDW (Inverse Distance Weighted) dei dati Radarsat 1 -2 per il periodo 2003 – 2014 con il Tool Math – Spatial Analyst di ArcGIS

Confronto dati SAR 2003 – 2013 vs. 2003 – 2014

Utilizzando i dati interpolati per il periodo 2003 – 2013, è stato fatto un confronto con i corrispondenti dati del periodo 2003 – 2014, per individuare eventuali aree in cui si fosse verificato un aumento delle velocità di abbassamento del suolo.

Come mostrano le immagini di Fig. 4A e Fig. 5A non si notano sostanziali differenze fra i valori di velocità dei due data-set: gli scostamenti sono mediamente dell'ordine di circa 1 mm. L'unica zona per la quale si riscontrano differenze importanti, (dell'ordine di circa 10 mm), si trova a nord della città di Ravenna. Trattasi dell'area di cui si è detto in precedenza e che non dispone di dati SAR. L'algoritmo d'interpolazione ha, quindi, generato "artifacts" privi di ogni significato fisico.

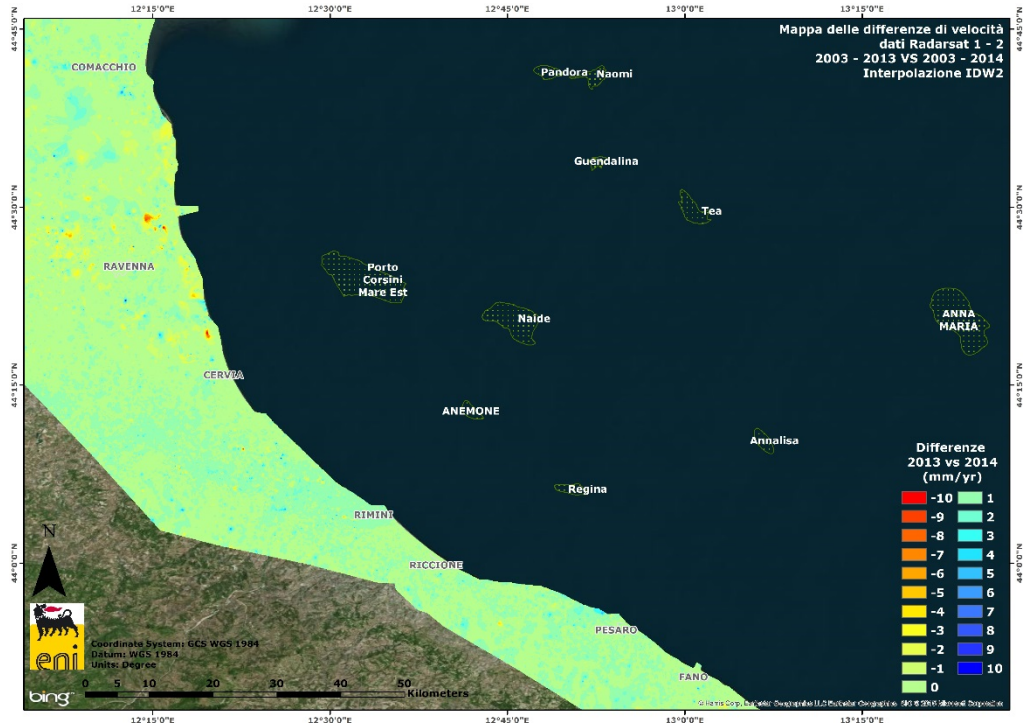


Fig. 4A – Tratto di costa da Comacchio a Fano: mappa delle differenze tra i database 2003-2013 e 2003-2014, utilizzando il Tool Math – Spatial Analyst di ArcGIS

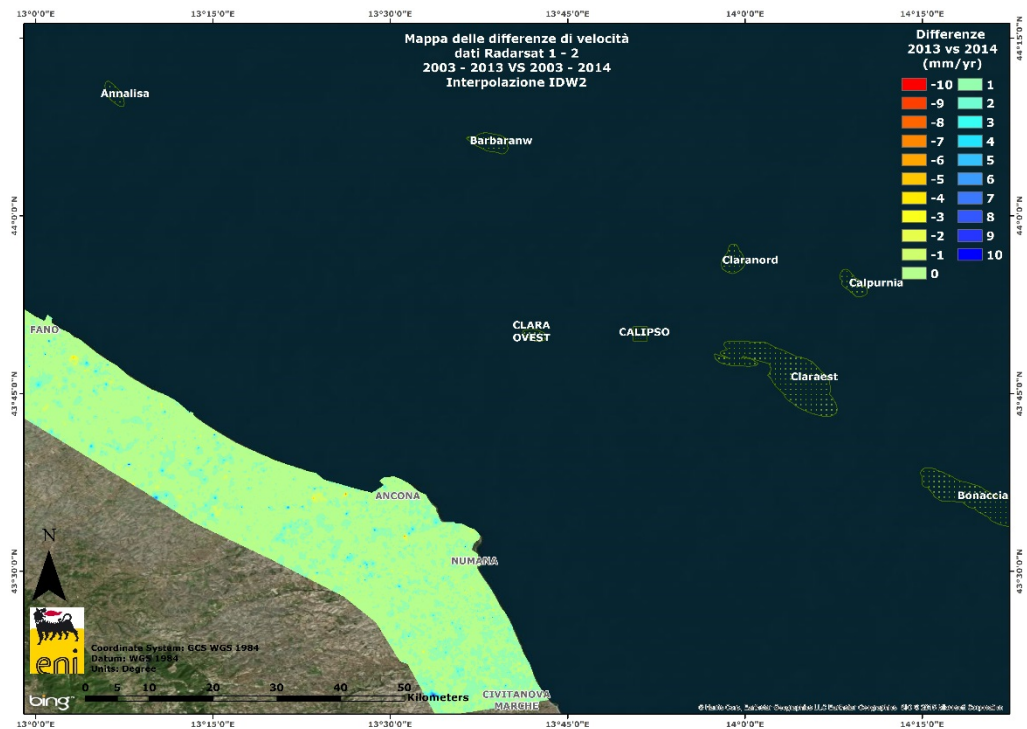


Fig. 5A – Tratto di costa da Fano a Porto Recanati: mappa delle differenze tra i database 2003-2013 e 2003-2014, utilizzando il Tool Math – Spatial Analyst di ArcGIS

Confronto dati SAR vs. Livellazione

Dal confronto SAR – livellazioni, non emergono differenze: entrambi i metodi, considerando la loro deviazione standard, non presentano anomalie evidenti (Fig. 6A e 7A, 8A e 9A, 10A e 11A, 12A e 13A).

L'unico punto d'attenzione si ha nel tratto Cervia – Pesaro (Fig. 9A) dove, in corrispondenza della città di Rimini (circa al km 30), si nota un valore negativo del dato SAR (-11,8 mm/a) che non è rilevato dalle campagne di livellazione del periodo 2009 – 2014. Tale anomalia è causata alla perdita di un caposaldo, il numero 00305400, che era disponibile nel periodo tra le campagne 1999 - 2009 e le cui misure risultavano in accordo con i dati SAR.

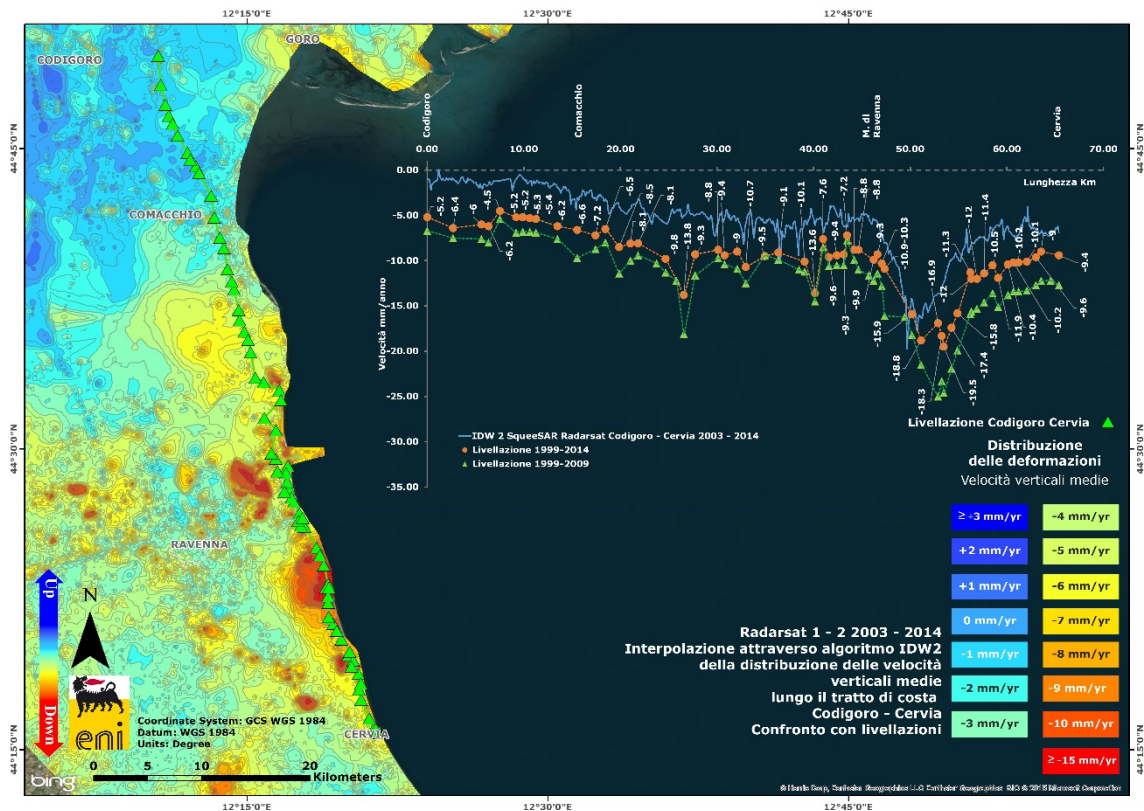


Fig. 6A – Tratto Codigoro – Cervia: confronto tra il database Radarsat 1-2 per il periodo 2003-2014e le campagne di livellazione 1999-2009 e 1999-2014

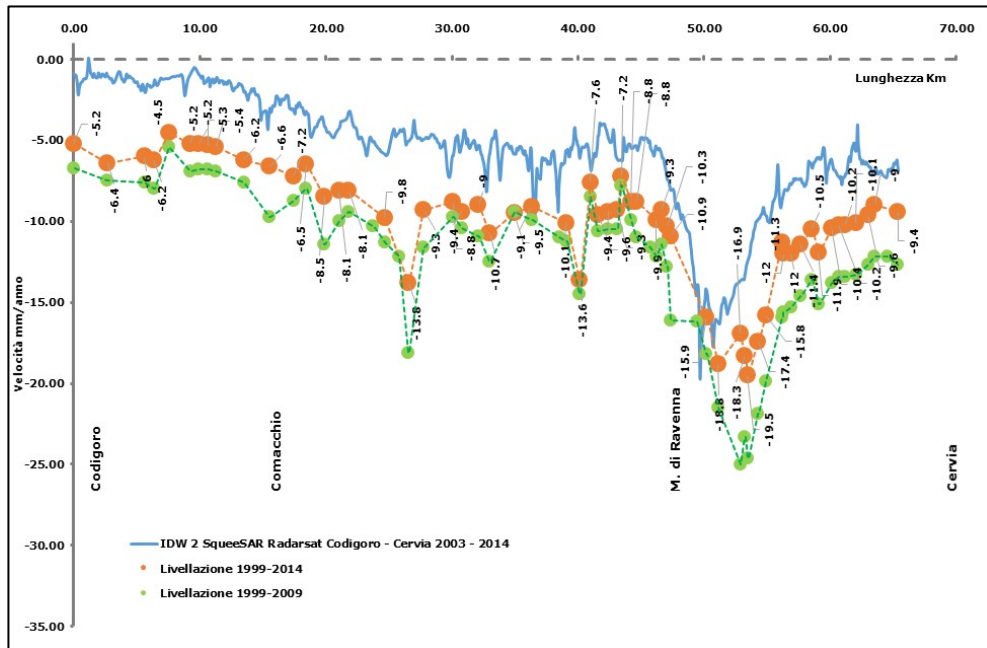


Fig. 7A – Tratto Codigoro – Cervia: dettaglio del grafico di confronto (Fig. 6A) tra il database Radarsat 1-2 (1999-2014) e le campagne di livellazione (1999-2014).

Non si osservano anomalie: i due metodi descrivono lo stesso andamento

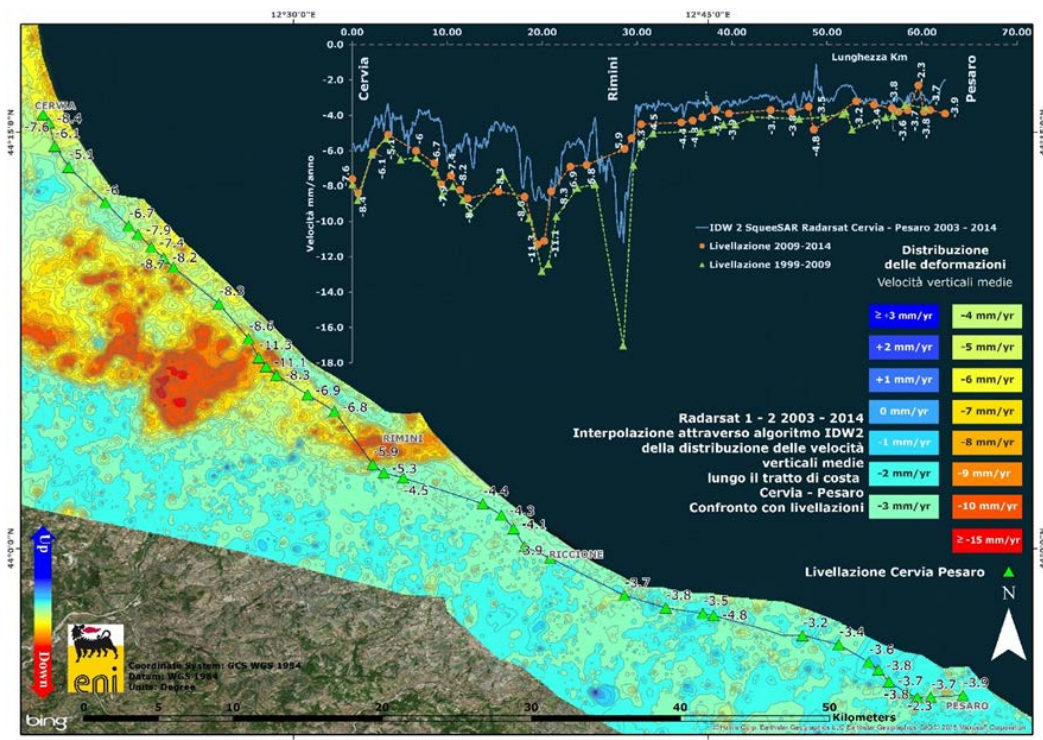


Fig. 8A – Tratto Cervia-Pesaro: confronto tra il database Radarsat 1-2 per il periodo 2003-2014 e le campagne di livellazione 1999-2009 e 2009-2014

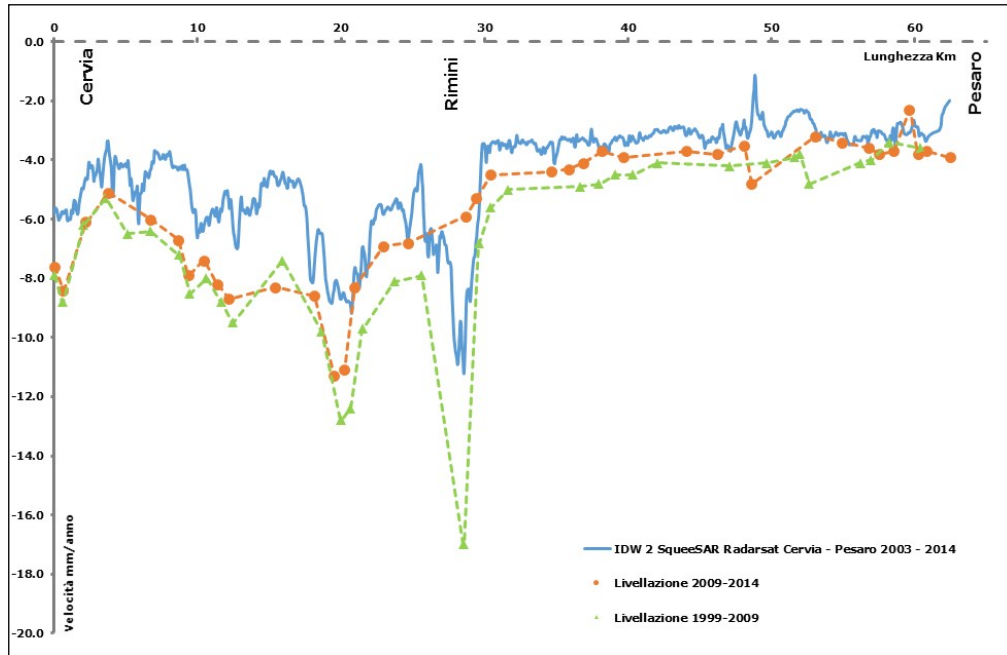


Fig. 9A – Tratto Cervia – Pesaro: dettaglio del grafico di confronto tra il database Radarsat 1-2 per il periodo 2003-2014 e le campagne di livellazione 1999-2009 e 2009-2014. In corrispondenza di Rimini, si nota un abbassamento registrato dal SAR e dalle livellazioni del periodo 1999-2009, che, però, non compare nelle livellazioni del periodo 2009-2014. Tale anomalia è da attribuirsi alla perdita del caposaldo 00305400

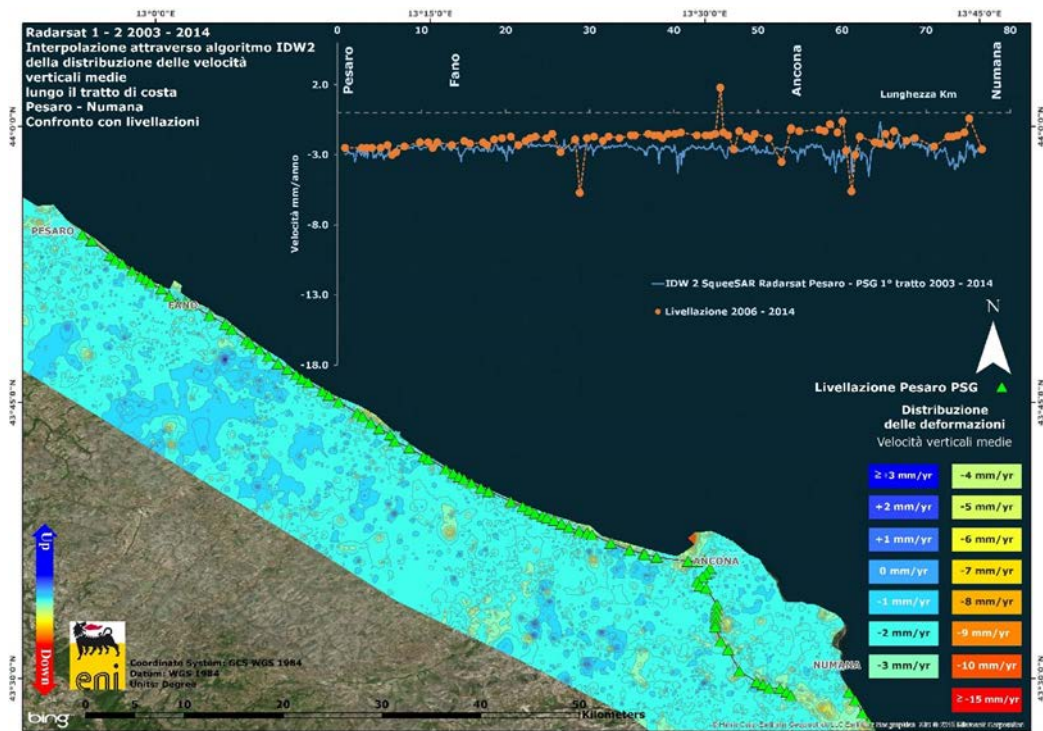


Fig. 10A – Tratto Pesaro – Numana: confronto tra il database Radarsat 1-2 per il periodo 2003-2014 e la campagna di livellazione 2006-2014

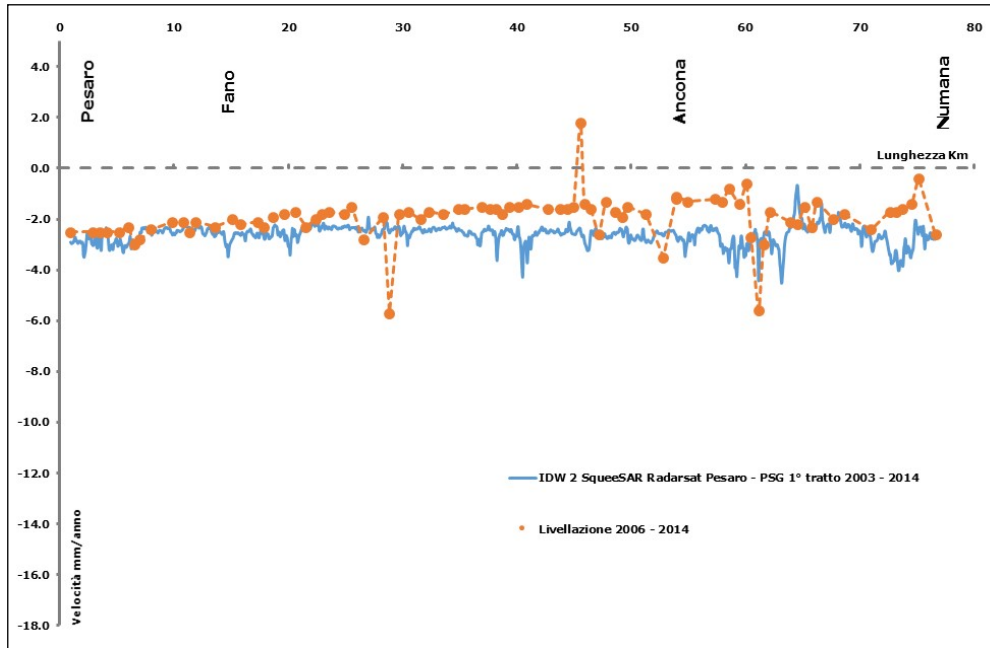


Fig. 11A – Tratto Pesaro – Numana: dettaglio del grafico di confronto tra il database Radarsat 1-2 per il periodo 2003-2014 e la campagna di livellazione 2006-2014.
Non si osservano anomalie: i due metodi descrivono lo stesso andamento

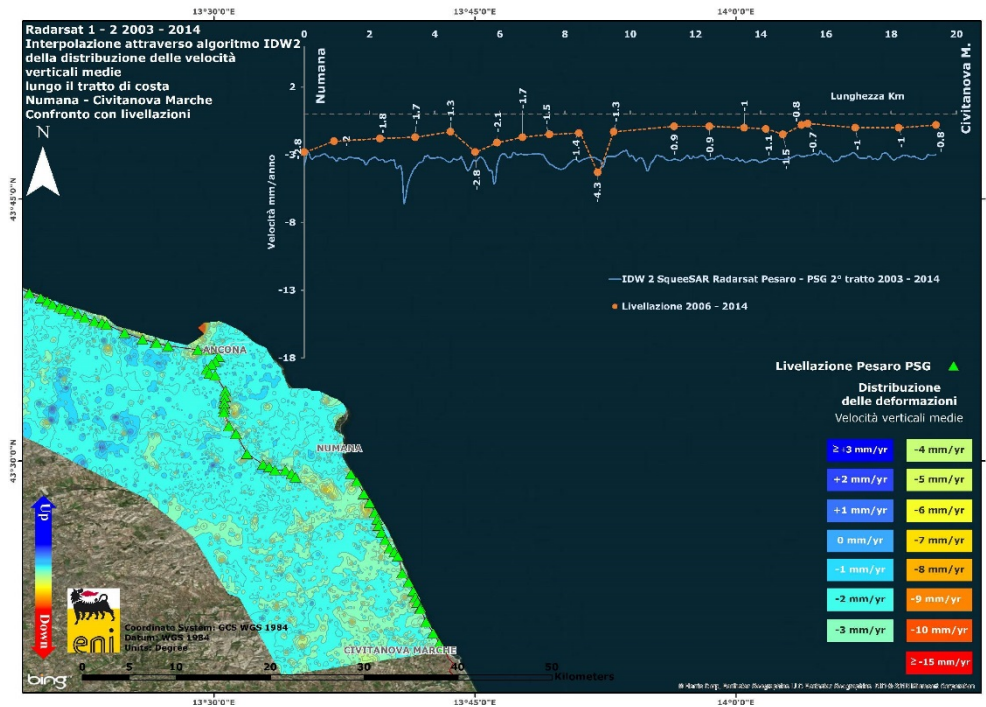


Fig. 12A – Tratto Numana – Civitanova Marche: confronto tra il database Radarsat 1-2 per il periodo 2003-2014 e la campagna di livellazione 2006-2014

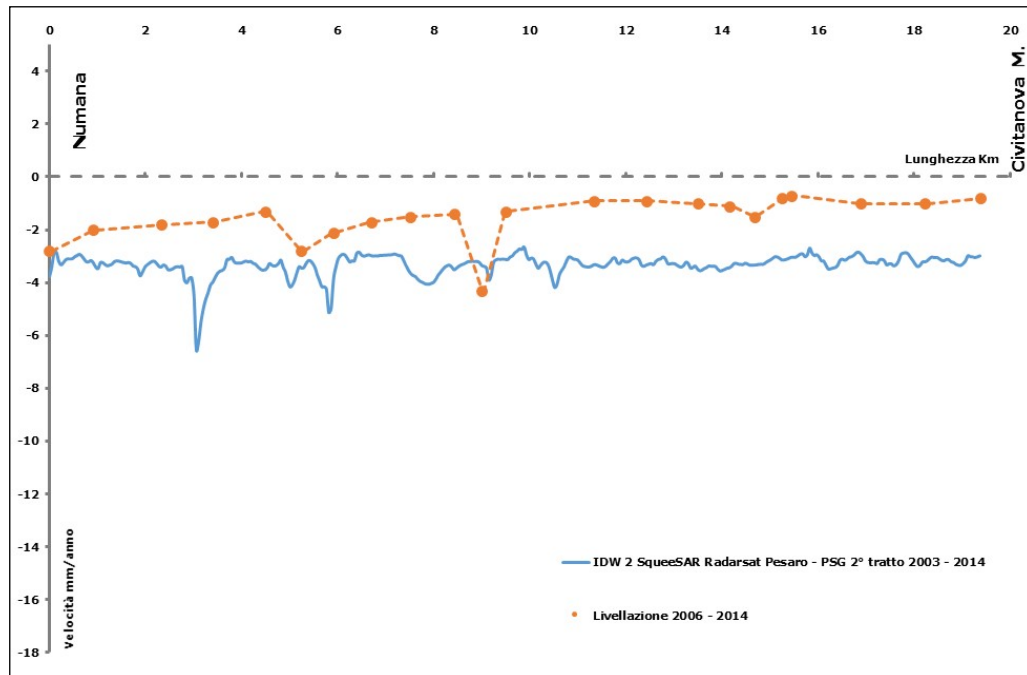


Fig. 13A – Tratto Numana – Civitanova Marche: dettaglio del grafico di confronto tra il database Radar-sat 1-2 per il periodo 2003-2014 e la campagna di livellazione 2006-2014. Non si notano anomalie: i due metodi descrivono lo stesso andamento

Appendice 2: stazioni EPSU lungo la fascia costiera compresa tra Cervia ed Ancona - aggiornamento al dicembre 2014

Il monitoraggio della compattazione superficiale, lungo la fascia costiera adriatica compresa tra Cervia e Ancona, è effettuato tramite 3 stazioni EPSU (Extensometric Piezometric Survey Unit) denominate: Rubicone, Fano e Falconara. L'ubicazione di tali stazioni, installate tra il 2008 e il 2009, è riportata in figura 1B.

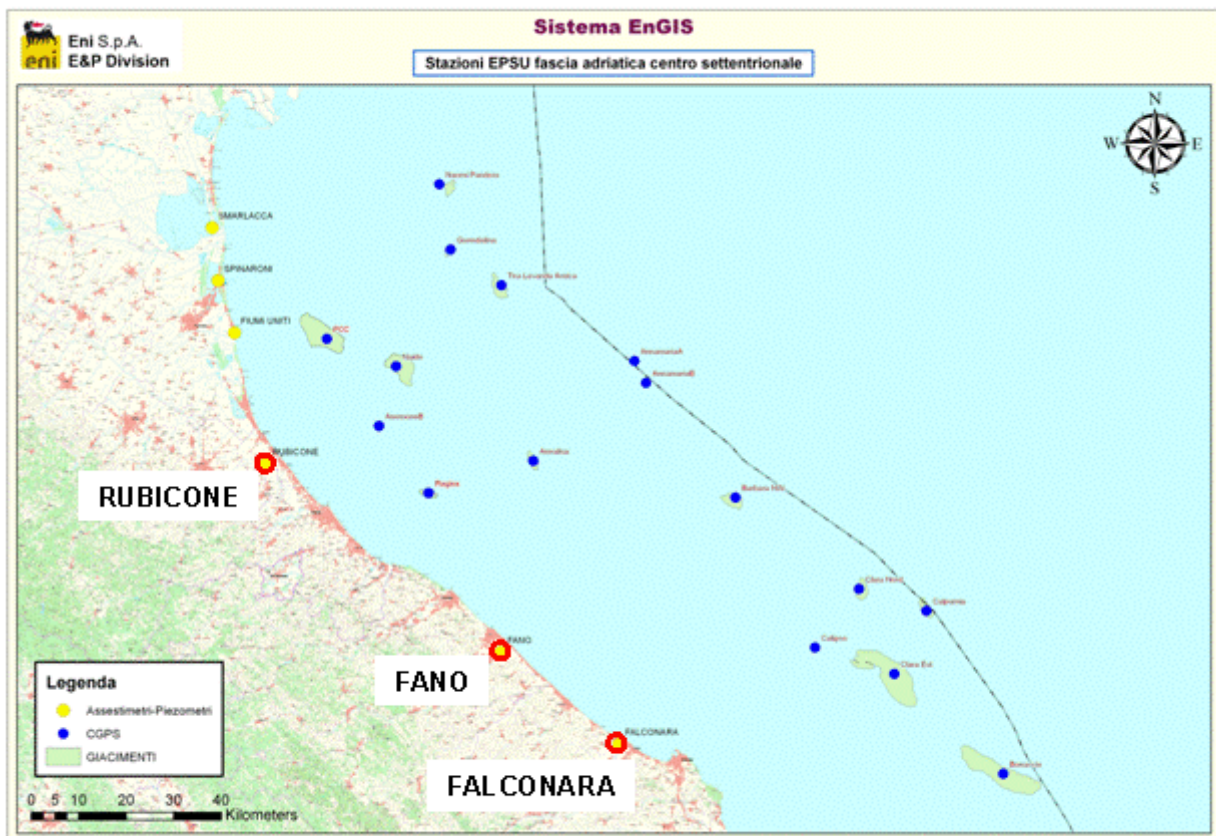


Figura 1B - Ubicazione delle stazioni EPSU.

In generale una stazione EPSU è costituita da un assestometro, associato a uno o più piezometri, con il corredo di strumentazione meteorologica per la misura della temperatura e della pressione atmosferica (termometri sia in foro che in superficie, e un barometro in modo da compensare le misure assestimetriche per le variazioni della temperatura e della pressione atmosferica) come schematicamente rappresentato in Figura 2B.

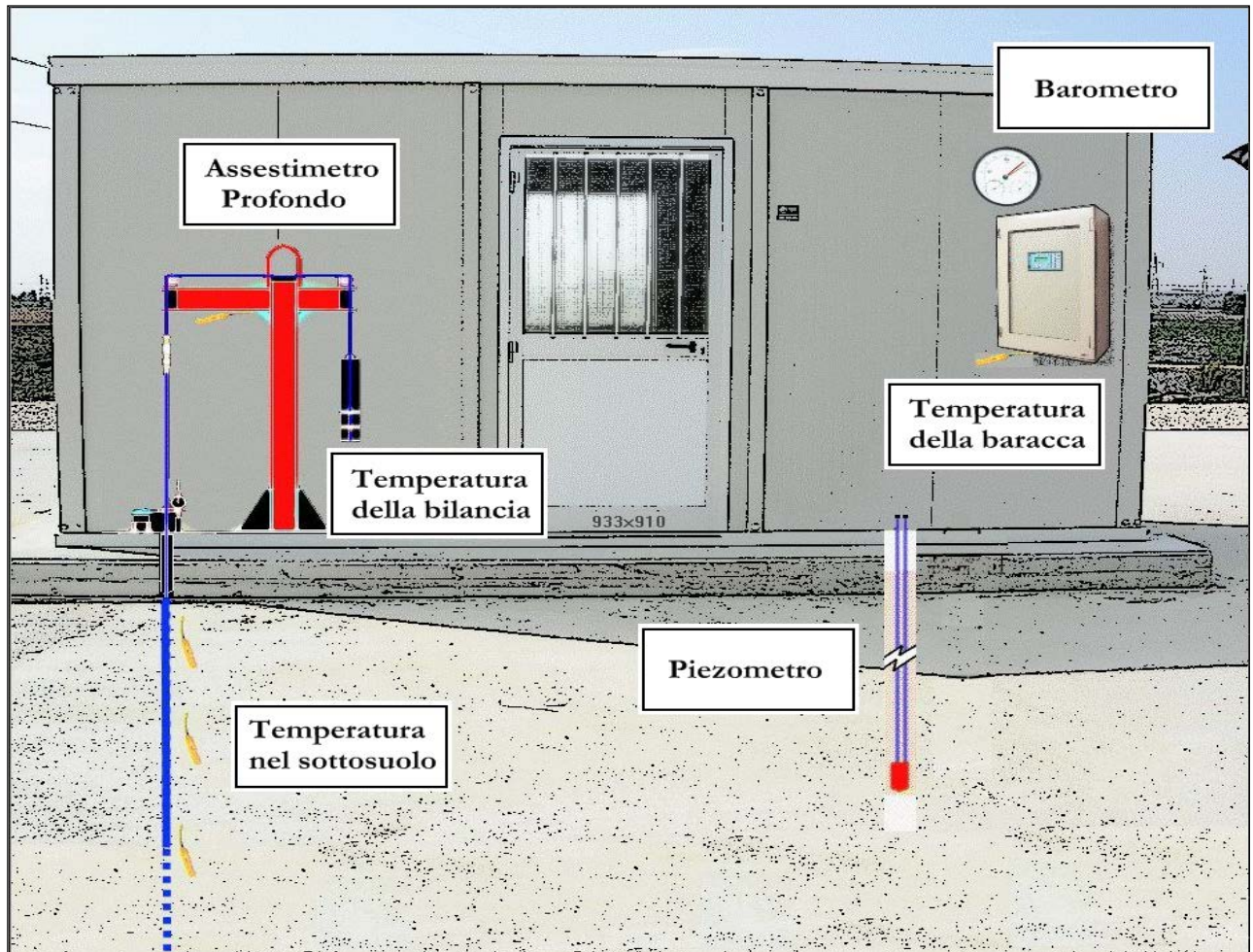


Figura 2B - Rappresentazione schematica di una stazione EPSU

Più in dettaglio, in ciascuna delle 3 stazioni EPSU sono state installati i seguenti dispositivi di misura:

Località'	Pozzo	Strumentazione	Profondità (da P.C.)	Data d'installazione
Rubicone	CGRA-1	Assestometro profondo	320 m	Gen. 2009
	CGRP-1	Piezometro cella singola	178 m	Gen. 2009
	CGRP-2	Piezometro cella doppia	146 m e 70 m	Gen. 2009
Fano	CGFNA-1	Assestometro superficiale	40,8 m	Lug. 2008
	CGFNP-1	Piezometro superficiale	6,1 m	Lug. 2008
Falconara	CGFLA-1	Assestometro superficiale	40,3 m	Lug. 2008
	CGFLP-1	Piezometro cella singola	22 m	Lug. 2008

Per ciascuna stazione EPSU si allegano:

1. scheda che ne descrive sinteticamente le principali caratteristiche;
2. grafico che mostra l'andamento temporale di tutte le misure;
3. file in formato excel che contiene i valori numerici di tali misure.

N.B.: Nella lettura dei dati riportati sui grafici relativi agli assestimetri, i valori positivi costituiscono la componente della compattazione (riduzione dello spessore dello strato di sottosuolo attraversato dall'assestometro); al contrario i valori negativi costituiscono la componente dell'espansione (aumento dello spessore dello strato di sottosuolo attraversato dall'assestometro).



Stazione EPSU di RUBICONE (installata dicembre 2009)

Strumentazione:

- assestimetro - quota bottom: 316 m da p.c.
- piezometro singolo - quota cella: 178 m da p.c.
- piezometro doppio - quota celle: 146 e 70 m da p.c.

La raccolta dati di questa stazione è iniziata l'8 aprile 2009. A tale data (in occasione del collaudo) è stato fatto "lo zero" dei sensori di misura.

I dati sono stati acquisiti con regolarità secondo la seguente frequenza:

- 8 aprile 2009 - 22 maggio 2009 una misura ogni ora,
- 22 maggio 2009 - 2 novembre 2009 una misura ogni 2 ore,
- 2 novembre 2009 - 31 dicembre 2014 una misura ogni 6 ore.

Le misure sono state fatte con alimentazione a batteria fino al 22 maggio 2009. Da tale data fino al 14 luglio 2009 non si hanno registrazioni a causa dei lavori di messa a norma della baracca secondo la normativa ATEX. Dal 14 luglio è ripreso il normale ciclo di funzionamento della stazione.

Nel 2011 c'è da segnalare un black-out dei dati per mancanza di alimentazione dell'apparecchiatura tra il 29 settembre e il 14 ottobre.

L'ultima verifica generale della strumentazione, con controlli manuali dei livelli piezometrici e taratura di tutti i sensori, è stata fatta nel dicembre 2014.

Analisi dei dati assestimetrici

L'assestimetro misura la compattazione degli strati di terreno compresi tra il piano campagna (p.c.) e il punto più profondo d'ancoraggio dello strumento (316 m da p.c.).

Nei grafici allegati sono riportati sia i dati piezometrici, sia quelli assestimetrici per un confronto relativo. I dati relativi all'assestimetro sono espressi in millimetri e riportano gli spostamenti misurati rispetto a un valore base iniziale ("misura di zero"). Tale misura è quella dell'8 aprile 2009, data di collaudo del sistema. Valori positivi degli spostamenti nel grafico dell'assestimetro indicano una compattazione, valori negativi, viceversa, un incremento del-



lo spessore (i.e. espansione) degli strati di terreno monitorati.

Nel caso della stazione di Rubicone, la variazione nel tempo delle misure assestometriche è caratterizzata da una curva ad andamento oscillatorio ben correlabile con le variazioni di livello delle falde acquifere registrate dal piezometro doppio.

In particolare, l'assestometro ha registrato a partire dai primi mesi di funzionamento una compattazione crescente giunta a un massimo di circa 9,5 mm (ottobre 2009), per poi decrescere, fino quasi ad azzerarsi, nel periodo marzo-aprile 2010. A partire da metà maggio 2010 le misure mostrano una ripresa nel verso positivo (cioè aumento della compattazione) fino a circa metà settembre 2010 per un valore di picco di 5,3 mm. Da questa data si è registrata una riduzione della compattazione tanto che al 31 dicembre 2010 il valore registrato è stato pari a 1,9 mm. Tale riduzione è proseguita fino alla metà del mese di marzo 2011 raggiungendo 0,4 mm. Si nota poi un'inversione di tendenza, ovvero un aumento della compattazione che ha raggiunto, alla fine di giugno 2011, un valore di 2,7 mm. Da giugno 2011 a ottobre 2011 la compattazione è di nuovo aumentata giungendo a un valore di picco intorno ai 10 mm, per poi decrescere attestandosi intorno agli 8,5 mm al 31 dicembre 2011.

Nel corso del 2012, dopo un piccolo decremento della misura di compattazione durato sino ad aprile, si registra un aumento della stessa sino a un valore di 15,6 mm (settembre 2012) che si è poi assestato sui 12,6 mm a fine 2012.

L'andamento oscillatorio delle misure è stato osservato anche nel corso del 2013-2014 con una compattazione complessiva di ca. 14 mm al dicembre 2014, dopo aver raggiunto un picco massimo di circa 16 mm al settembre dello stesso anno.

Nella stessa area della stazione assestometrica è installata anche una postazione CGPS. Ciò ha permesso un confronto fra la velocità media d'abbassamento del suolo stimata dai dati GPS con quella di compattazione del terreno ottenuta dalle misure assestometriche. Tali velocità, che si riferiscono però a fenomeni fisici diversi anche se collegati fra loro, sono risultate in buon accordo, essendo rispettivamente di ca. 1,6 mm/a per il GPS e di ca. 2,4 mm/a per l'assestometro.

Un'analisi qualitativa delle due serie temporali di misure (assestometriche e geodetiche GPS - vedere grafico all.) mostra poi come queste siano ben correlate tra loro, e come gli anda-



menti di entrambe le curve ben si correlino a loro volta con le oscillazioni stagionali del livello delle falde acquifere, fatto del resto già fatto notare in precedenza. Una possibile interpretazione di tale evidenza è che l'abbassamento del suolo registrato dal CGPS sia in buona parte prodotto dalla compattazione degli strati più superficiali di terreno; compattazione che a sua volta è controllata dal livello dell'acqua nelle falde.

Si segnala, inoltre, che per comodità di lettura del grafico:

- le misure del CGPS sono state filtrate con una media mobile su 50 campioni per meglio evidenziarne l'andamento;
- i valori della curva assestimetrica sono stati riportati in ordine inverso, così da renderne l'andamento coerente quello della curva GPS (spostamenti delle curve verso l'alto indicano sollevamenti del terreno e viceversa).

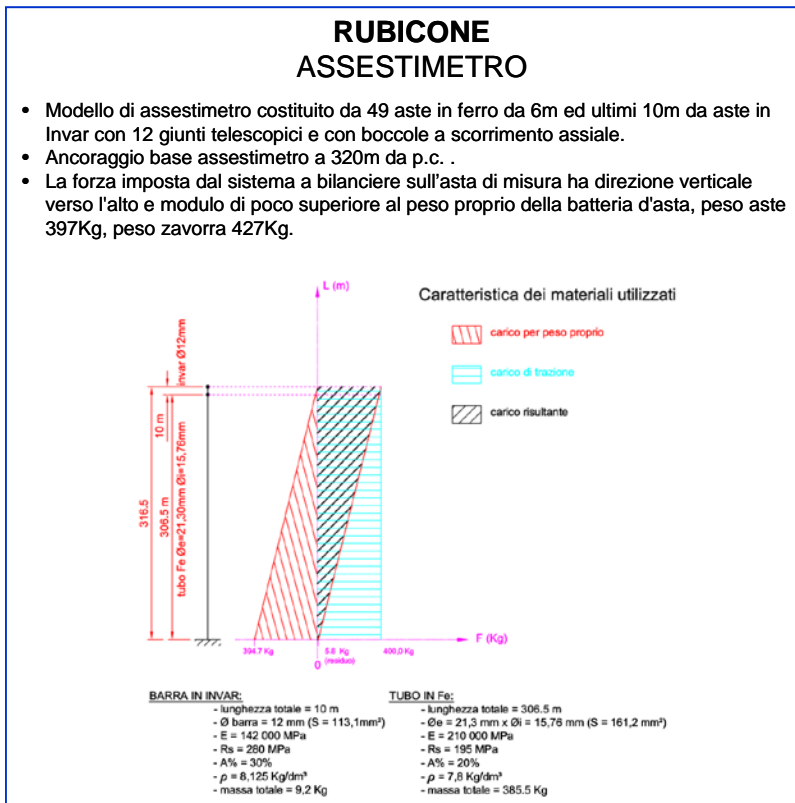
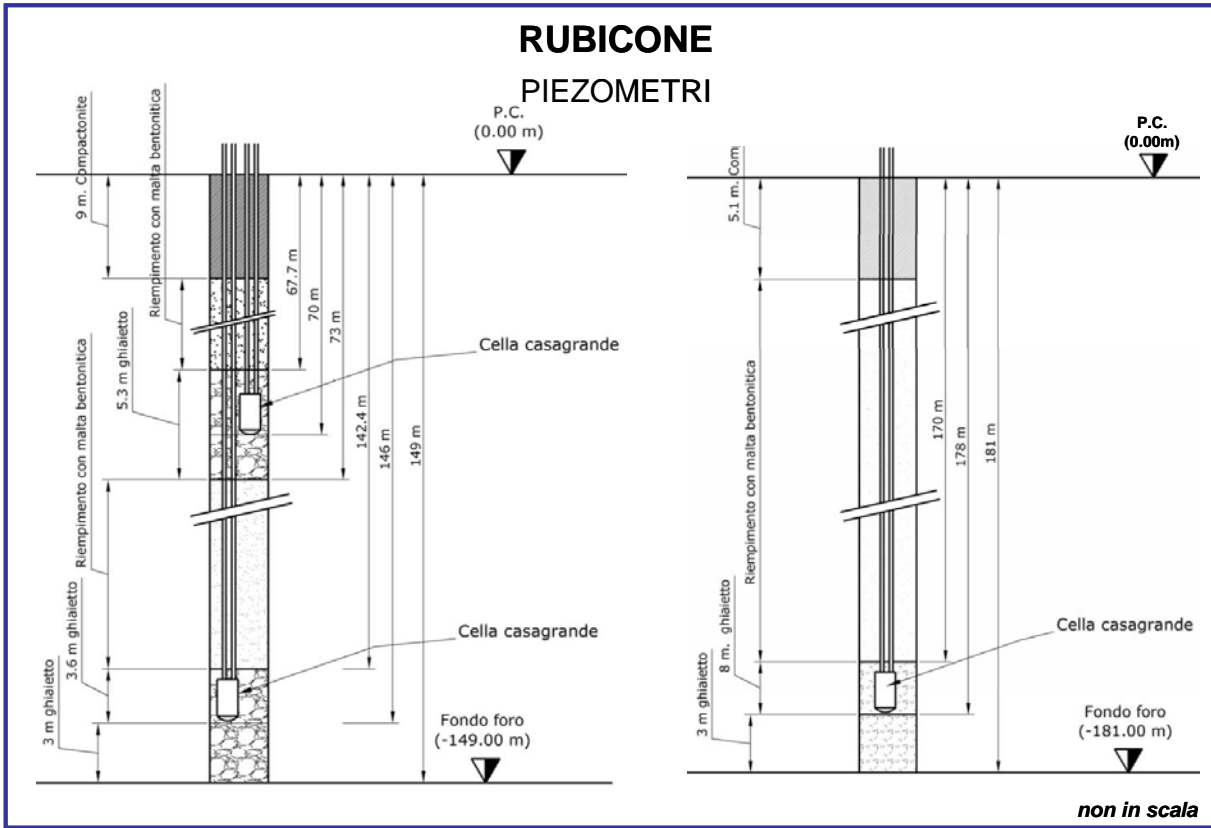
Analisi dei dati piezometrici

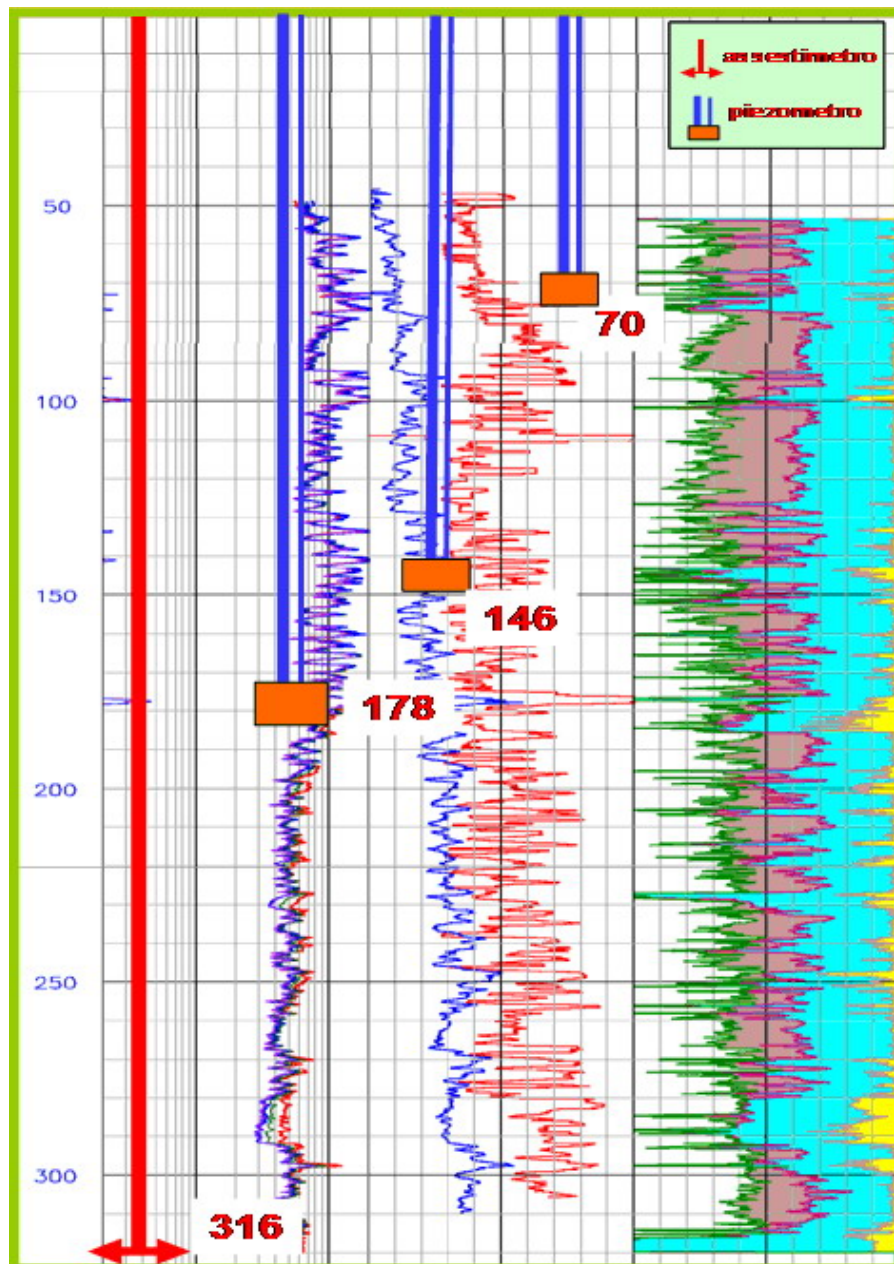
Nei grafici dei piezometri l'ordinata è la quota piezometrica (in m), ovvero la profondità del livello dell'acqua all'interno del tubo piezometrico riferita al piano campagna. Nello stesso grafico (come seconda ordinata) è riportato il valore della pressione barometrica.

Nel caso di Rubicone si notano delle effervescenze gassose nei tubi piezometrici causate dalla presenza di piccole quantità di gas nell'acqua; il fenomeno del resto era già osservato durante le operazioni di messa in opera dell'attrezzatura. Queste piccole effervescenze causano differenze di misura dei livelli d'acqua nei due tubi del piezometro profondo (pozzo CGRP-1), differenze che sono dell'ordine di 30 - 40 cm.

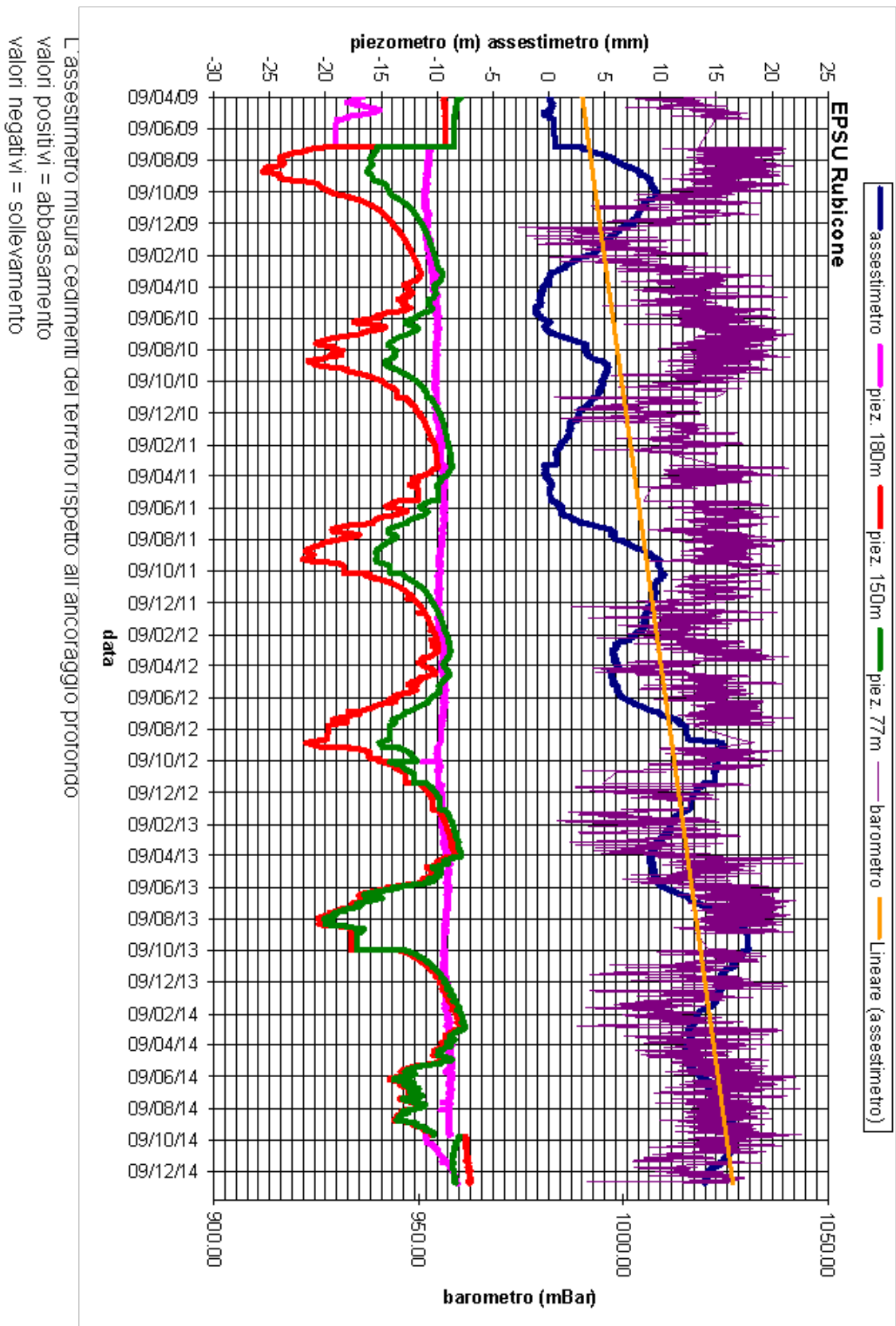
Nel mese di ottobre 2012 si sono puliti e controllati i 3 piezometri verificando il loro buon funzionamento.

Un nuovo intervento di spurgo è stato fatto a fine settembre 2014, controllando accuratamente piezometri e trasduttori. L'affidabilità di questi ultimi, in particolare, è stata verificata effettuando alcune misure manuali con freatometro. Queste sono risultate del tutto in linea con le misure automatiche, consentendo di concludere che tutti i trasduttori erano perfettamente funzionanti e affidabili.



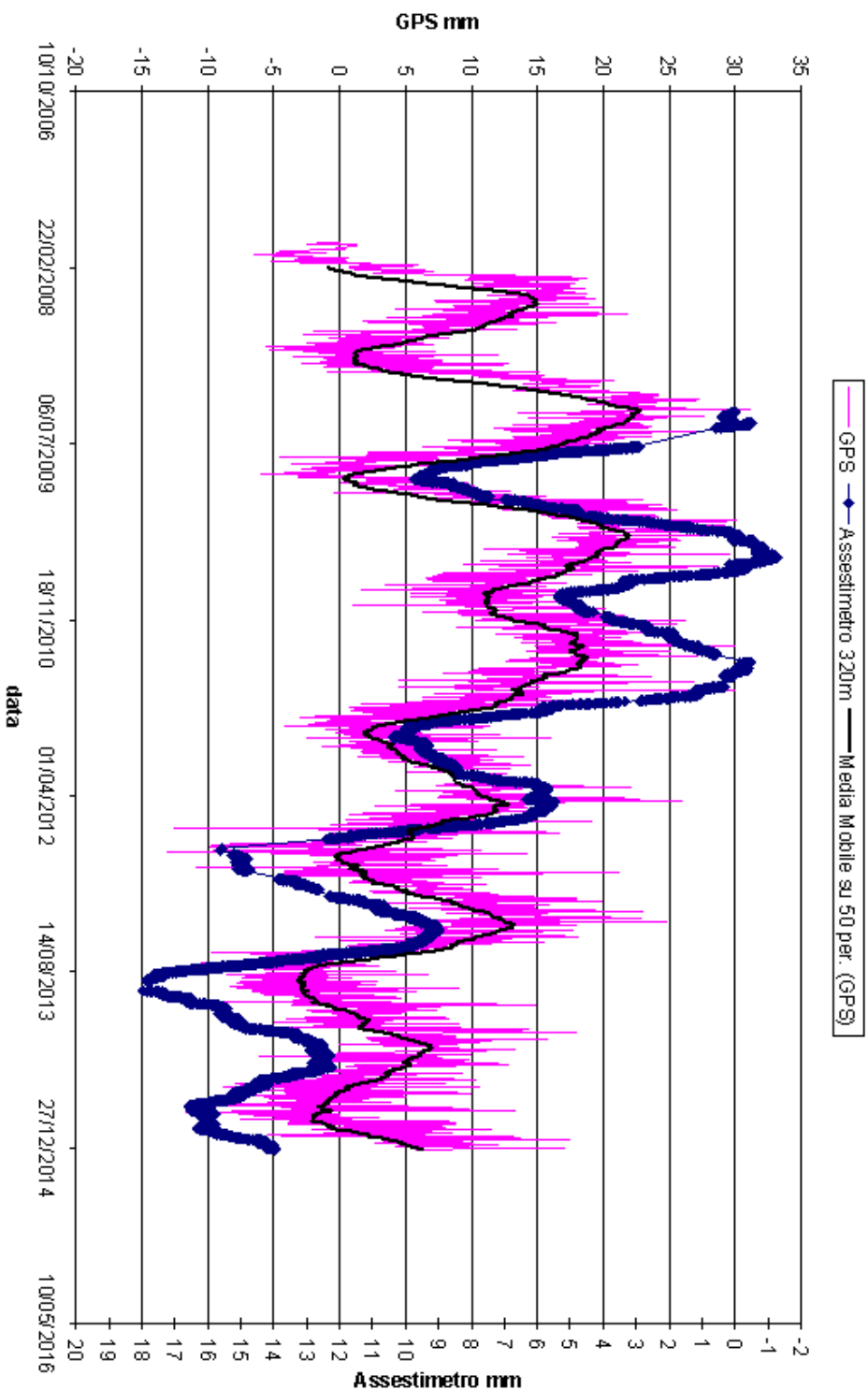


Le curve rappresentano i logs litologico-petrofisici tramite cui è stata ricostruita la serie stratigrafica del suolo attraversato.





RUBICONE - Confronto GPS ed asses timetro profondo



Nel grafico per meglio apprezzare le modulazioni della curva GPS questa è stata filtrata con una media mobile su 50 campioni. Per comodità la curva asses timetrica è stata graficata con i valori in ordine inverso, in modo da renderla coerente con le modulazioni del GPS (spostamenti delle curve verso l'alto indicano sollevamenti del terreno e viceversa)



Stazione EPSU di FALCONARA (installata ottobre 2008)

Strumentazione:

- assestimetro - quota bottom: 40,3 m da p.c.
- piezometro a cella singola - quota cella: 22 m da p.c.

La raccolta dati di questa stazione è iniziata il 16 ottobre 2008. A tale data (in occasione del collaudo) è stato fatto “lo zero” dei sensori di misura.

L’acquisizione dati è stata fatta con regolarità secondo la seguente frequenza:

- 16 ottobre 2008 - 18 maggio 2009 una misura ogni ora,
- 8 maggio 2009 - 31 dicembre 2014 una misura ogni 6 ore.

Nei periodi 7 ottobre 2011 - 2 novembre 2011 e 3 dicembre - 13 dicembre 2011 si è avuto un problema d’alimentazione all’apparecchiatura d’acquisizione automatica dei dati, con conseguente mancata registrazione degli stessi. Identico problema si è verificato tra febbraio e aprile 2012; si è perciò sostituito parte dell’hardware del sistema d’acquisizione.

L’ultima verifica generale della strumentazione, con controlli manuali dei livelli piezometrici e taratura di tutti i sensori è stata effettuata nel dicembre 2014.

Analisi dei dati assestimetrici

L’assestimetro misura la compattazione degli strati di terreno compresi tra il piano di campagna (p.c.) e il punto più profondo d’ancoraggio dello strumento (40,3 m da p.c.).

Nei grafici allegati sono riportati sia i dati piezometrici, sia quelli assestimetrici per un confronto relativo. I dati relativi all’assestimetro sono espressi in millimetri e riportano gli spostamenti misurati rispetto a un valore base iniziale (“misura di zero”). Tale misura è quella del 16 ottobre 2008, data di collaudo del sistema. Valori positivi degli spostamenti nel grafico dell’assestimetro indicano una compattazione e, viceversa, valori negativi un incremento dello spessore (i.e. espansione) degli strati di terreno monitorati.

Come nel caso della stazione di Rubicone, anche per quella di Falconara la variazione nel tempo delle misure assestimetriche è caratterizzata da una curva ad andamento oscillatorio



ben correlabile con le variazioni di livello della falda d'acqua registrate dal piezometro.

In particolare, lo strumento ha registrato in un primo periodo (fino a metà dicembre 2008) un'espansione di circa -1,3 mm, che si è poi assestata intorno a circa -1 mm fino a metà giugno 2009. Si è avuta successivamente un'inversione di tendenza con un lento ma costante aumento dei valori misurati (cioè compattazione); valori che nei primi nove mesi del 2012 hanno raggiunto i 1,3 mm. Tale trend si è poi attenuato nell'ultimo scorcio del 2012 con i valori misurati che sono scesi a circa -0,4 mm (fine 2012). Nel corso del 2013 si è osservato un ciclo simile a quello dell'anno precedente con un massimo di espansione del terreno verso marzo (circa -1 mm), e un massimo di compattazione intorno a settembre 2013 (ca. 0,7 mm) per attestarsi poi a fine anno intorno a - 0,5 mm.

Anche nel 2014 si osserva nelle misure un andamento oscillatorio, sostanzialmente ben correlabile con i cicli stagionali: si registra un massimo di espansione intorno a marzo (circa -1 mm), una compattazione di circa 0,5 mm a fine estate che tende lievemente a decrescere (0,4 mm) verso la fine dell'anno.

Pur con un andamento oscillatorio nel tempo, non si nota nel grafico allegato un trend crescente di compattazione nel tempo. Le misure assestimetriche mostrano, quindi, una situazione del terreno sostanzialmente stabile, con assenza di un'apprezzabile compattazione.

Identico andamento emerge dall'analisi delle misure della componente verticale di velocità di abbassamento/sollevamento del suolo della stazione CGPS installata in loco. Il valore medio annuo di tale velocità è, infatti, di circa 0,4 mm/a in leggero sollevamento.

Un'analisi qualitativa delle due serie temporali di misure (assestimetriche e geodetiche GPS – vedere grafico all.) mostra poi come queste siano ben correlate tra loro con “pulsazioni” del terreno (espansioni e *compattazioni*) di piccolissima entità. Gli andamenti di entrambe le curve ben si correlano a loro volta con le oscillazioni stagionali del livello delle falde acquifere, come del resto si è osservato in precedenza.

Si segnala, inoltre, che per comodità di lettura del grafico:

- le misure del CGPS sono state filtrate con una media mobile su 50 campioni per meglio evidenziarne l'andamento;
- i valori della curva assestimetrica sono stati riportati in ordine inverso, così da renderne l'andamento coerente quello della curva GPS (spostamenti delle curve verso l'alto indi-



cano sollevamenti del terreno e viceversa).

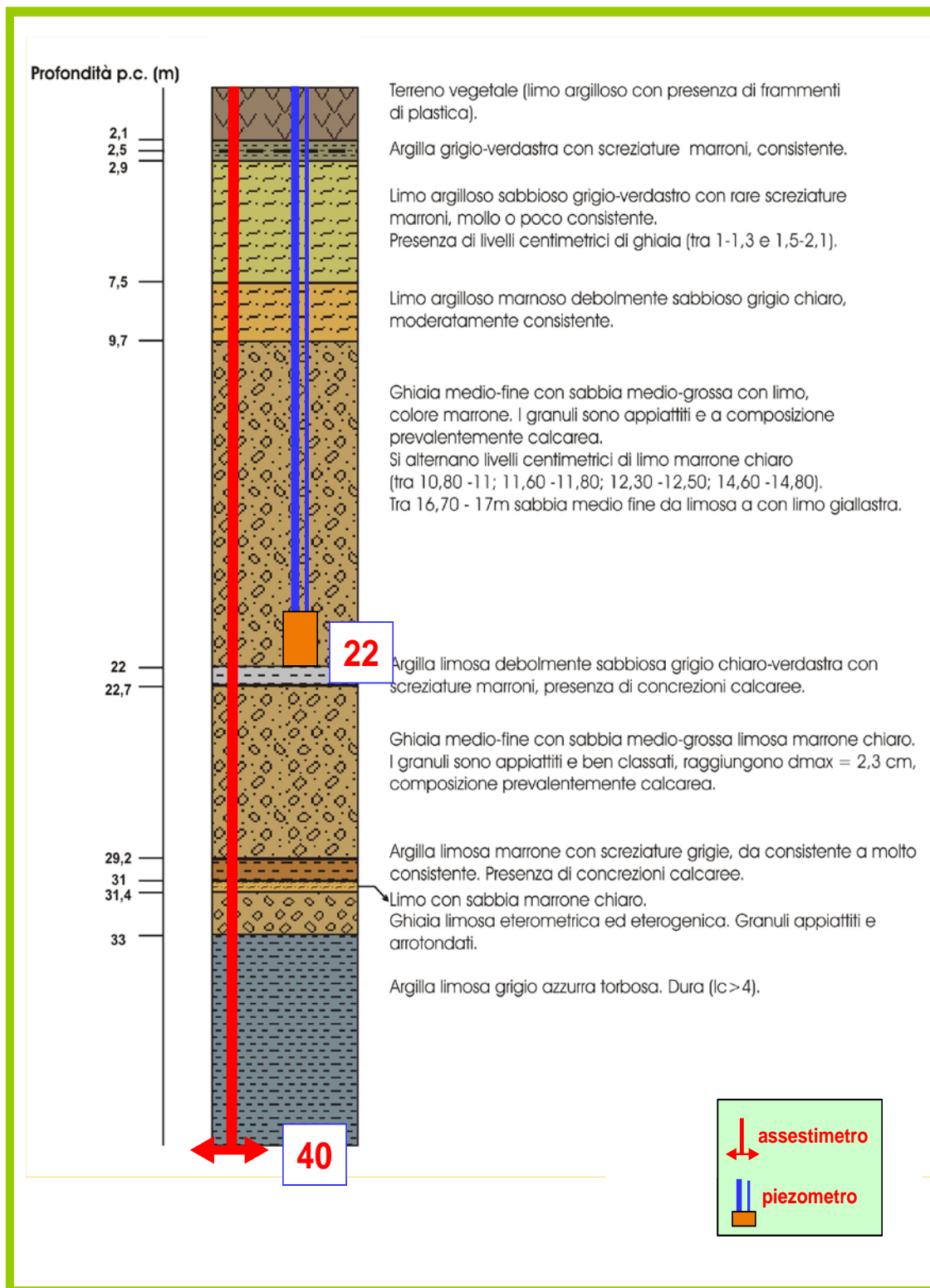
Analisi dei dati piezometrici

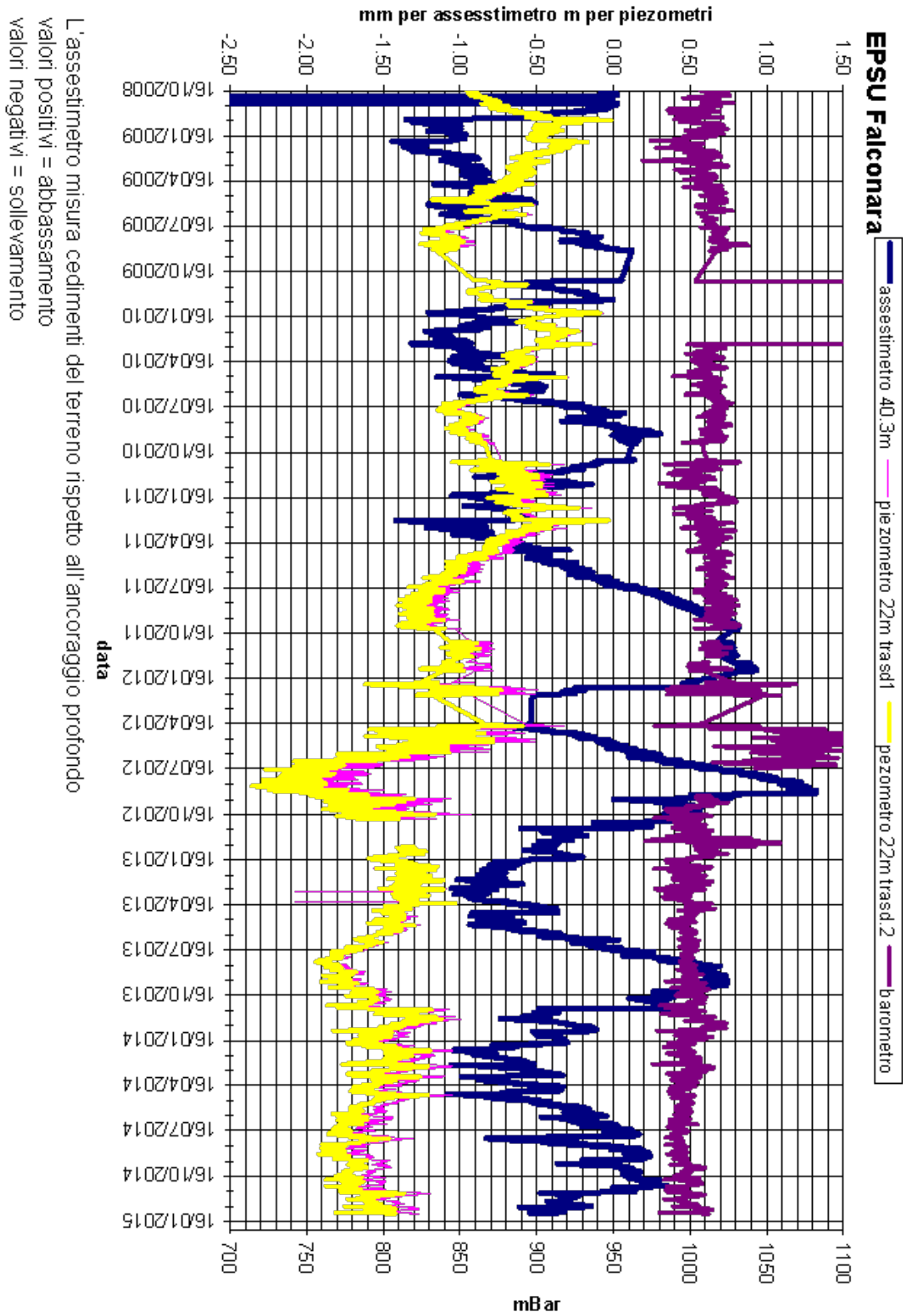
Nello stesso grafico dei dati assestometrici, si è riportata la piezometria.

Nel grafico del piezometro l'ordinata è la quota piezometrica (in m), ovvero la profondità del livello dell'acqua all'interno del tubo piezometrico riferita al piano campagna. Nello stesso grafico (come seconda ordinata) è riportato il valore della pressione barometrica.

Nel caso di Falconara il livello della falda è risultato molto alto, circa 1,3 m da p.c. Dato che si sono utilizzati 2 trasduttori di pressione - uno per ogni canna del piezometro Casagrande - si è in grado di controllare l'attendibilità delle misure.

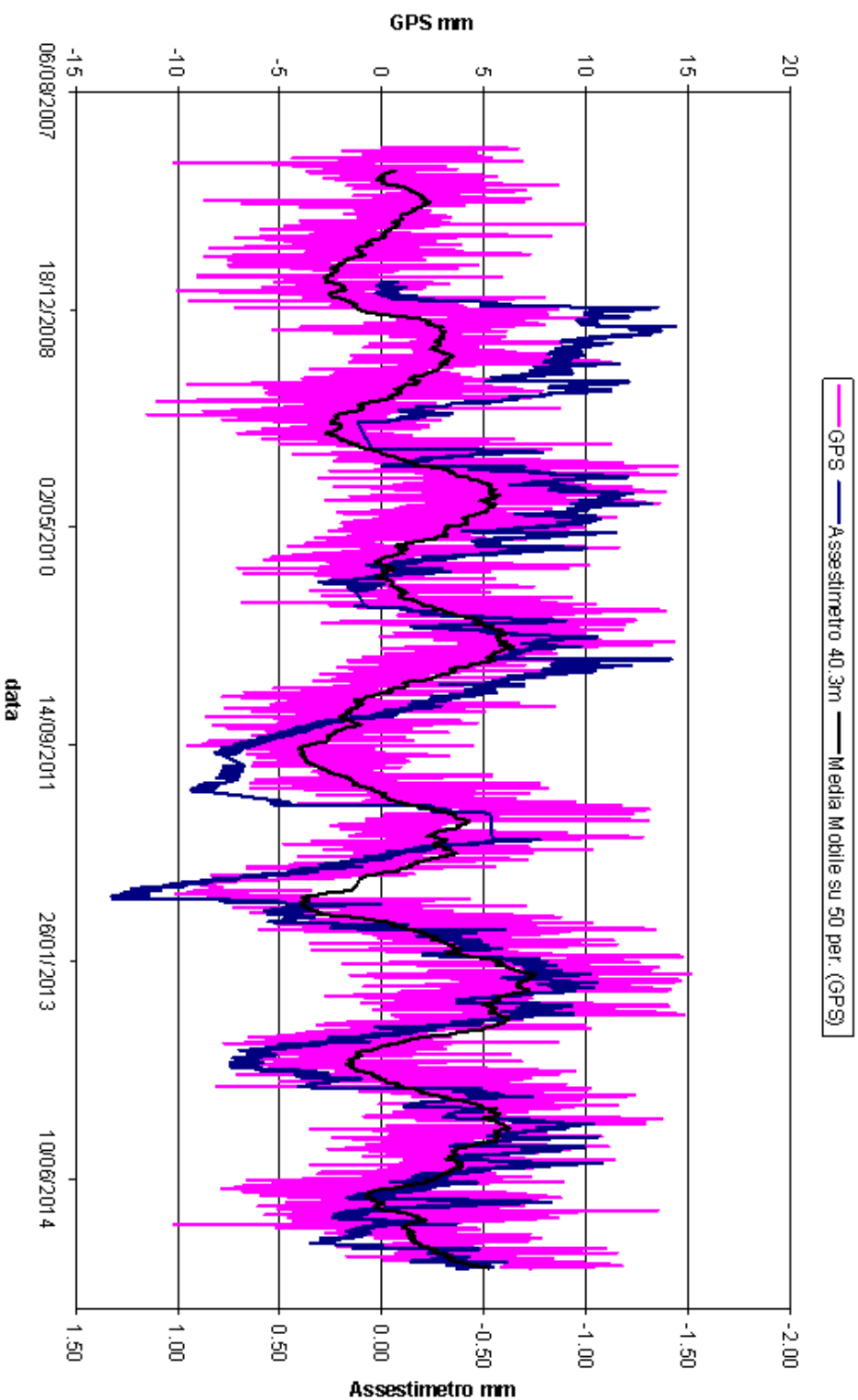
Nel dicembre del 2014 si è fatta la manutenzione dei piezometri. In tale occasione si è misurato manualmente con un freatometro il livello della falda per verificare la qualità delle misure registrate dai trasduttori. Le differenze riscontrate sono risultate sempre molto piccole, dell'ordine di 2-3 cm, per cui i piezometri sono da considerarsi affidabili e funzionanti.







FALCONARA - Confronto GPS ed assestimetro superficiale



Nel grafico per meglio apprezzare le modulazioni della curva GPS questa è stata filtrata con una media mobile su 50 campioni. Per comodità la curva assestimetrica è stata graficata con i valori in ordine inverso, in modo da renderla coerente con le modulazioni del GPS (spostamenti delle curve verso l'alto indicano sollevamenti del terreno e viceversa)



Stazione EPSU di FANO (installata ottobre 2008)

Strumentazione:

- assestometro - quota bottom: 40,8 m da p.c.
- piezometro a cella singola: quota cella 6,1 m da p.c.

La raccolta dati di questa stazione è iniziata il 16 ottobre 2008. A tale data (in occasione del collaudo) è stato fatto “lo zero” per tutti i sensori di misura.

L’acquisizione dati è stata fatta con regolarità secondo la seguente frequenza:

- 16 ottobre 2008 - 18 maggio 2009 una misura ogni ora,
- 19 maggio 2009 - 31 dicembre 2014 una misura ogni 6 ore.

Nel periodo monitorato (10/2008 – 12/2014) non si sono notate anomalie né a livello sensoristico, né a livello di apparecchiatura d’acquisizione dati.

L’ultimo controllo generale della strumentazione, con misure manuali dei livelli piezometrici e taratura di tutti i sensori, è stato fatto nel dicembre 2014.

Analisi dei dati assestimetrici

L’assestometro misura la compattazione degli strati di terreno compresi tra la superficie (p.c.) e il punto più profondo d’ancoraggio dello strumento (40,8 m da p.c.).

Nei grafici allegati sono riportati sia i dati piezometrici sia quelli assestimetrici per un confronto relativo. I dati relativi all’assestometro sono espressi in millimetri e riportano gli spostamenti misurati rispetto a un valore base iniziale (“misura di zero”). Tale misura è quella del 16 ottobre 2008, data di collaudo del sistema. Valori positivi degli spostamenti nel grafico dell’assestometro indicano una compattazione e, viceversa, valori negativi un incremento dello spessore (i.e. espansione) degli strati di terreno monitorati.

Anche nel caso della stazione di Fano, la variazione nel tempo delle misure assestimetriche mostra un andamento oscillatorio, sfasato, però, rispetto alle variazioni di livello della falda d’acqua. E’ da segnalare, inoltre, che l’entità delle oscillazioni è meno marcata rispetto a



quanto registrato dagli assestimetri delle stazioni di Rubicone e Falconara.

Il valore massimo di compattazione si è avuto a inizio 2012 ed è risultato pari a circa 1,4 mm. Tale valore è poi sceso a circa 0,8 mm nel luglio 2012, per incrementarsi nuovamente a 1,2 mm verso la fine dello stesso anno.

Nel corso del 2013 si è assistito a un ciclo simile all'anno precedente, con la compattazione che si è attestata verso fine anno intorno a un valore di circa 1 mm.

Le misure assestimetriche acquisite nel 2014 mostrano un andamento praticamente identico a quello degli altri anni: si è, infatti, registrata una compattazione di ca. di 1 mm a inizio anno annullatasi praticamente nel periodo estivo (agosto) in corrispondenza del massimo della quota della falda. Verso fine anno la misura si è riportata nuovamente a ca. 1 mm.

In questi primi cicli di misure l'assestometro mostra, quindi, una situazione sostanzialmente stabile, con assenza di un'apprezzabile compattazione del terreno.

Un comportamento del terreno pressoché identico è registrato dal CGPS ubicato in prossimità della stazione EPSU. I dati GPS danno la superficie del suolo in leggero innalzamento con velocità media di ca. 0,2 mm/a.

L'esame comparato delle due serie di misure (assestimetriche e geodetiche GPS – vedere grafico all.) mostra come queste abbiano gli stessi andamenti oscillatori ma sfasati nel tempo. In particolare la serie assestimetrica sembra essere ritardata di ca. 3-4 mesi rispetto a quella geodetica. E' bene osservare, però, che si tratta di movimenti del suolo di bassissima entità, per cui si è al limite del potere risolutivo delle due tecniche di misura.

Passando al confronto con la piezometria, si nota che entrambe le curve - assestimetrica e geodetica GPS - mostrano una certa correlazione con gli andamenti stagionali della falda.

La curva assestimetrica si presenta, però, sfasata anche rispetto a quella piezometrica, raggiungendo il minimo circa tre mesi dopo il massimo del livello piezometrico. Questo comportamento potrebbe essere spiegato dal ritardo con cui si contrae o rigonfia un grosso strato d'argilla (ca. 32 m) quando varia la sua saturazione in acqua. La presenza di tale strato d'argilla è stata rilevata durante la perforazione del foro assestimetrico.

La curva dei dati GPS sembra invece più pronta a registrare in superficie i movimenti d'espansione e contrazione degli strati di terreno generati dalle variazioni del livello d'acqua nella falda. Va però notato che l'ubicazione dell'antenna CGPS (stazione SSU) dista circa



150-200 m dalla stazione EPSU, e probabilmente il terreno su cui è stata installata ha una stratigrafia caratterizzata da un minore presenza di livelli argillosi.

Si segnala, inoltre, che per comodità di lettura del grafico:

- le misure del CGPS sono state filtrate con una media mobile su 50 campioni per meglio evidenziarne l'andamento;
- i valori della curva assestimetrica sono stati riportati in ordine inverso, così da renderne l'andamento coerente quello della curva GPS (spostamenti delle curve verso l'alto indicano sollevamenti del terreno e viceversa).

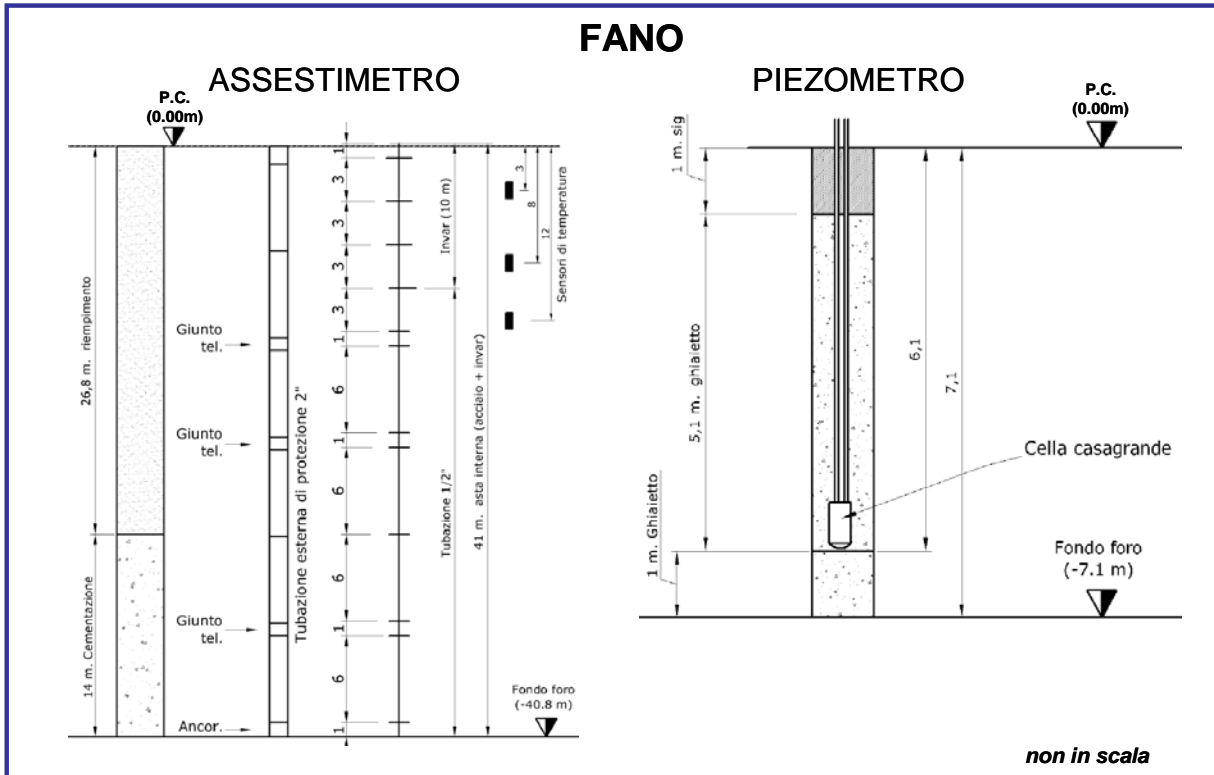
Analisi dei dati piezometrici

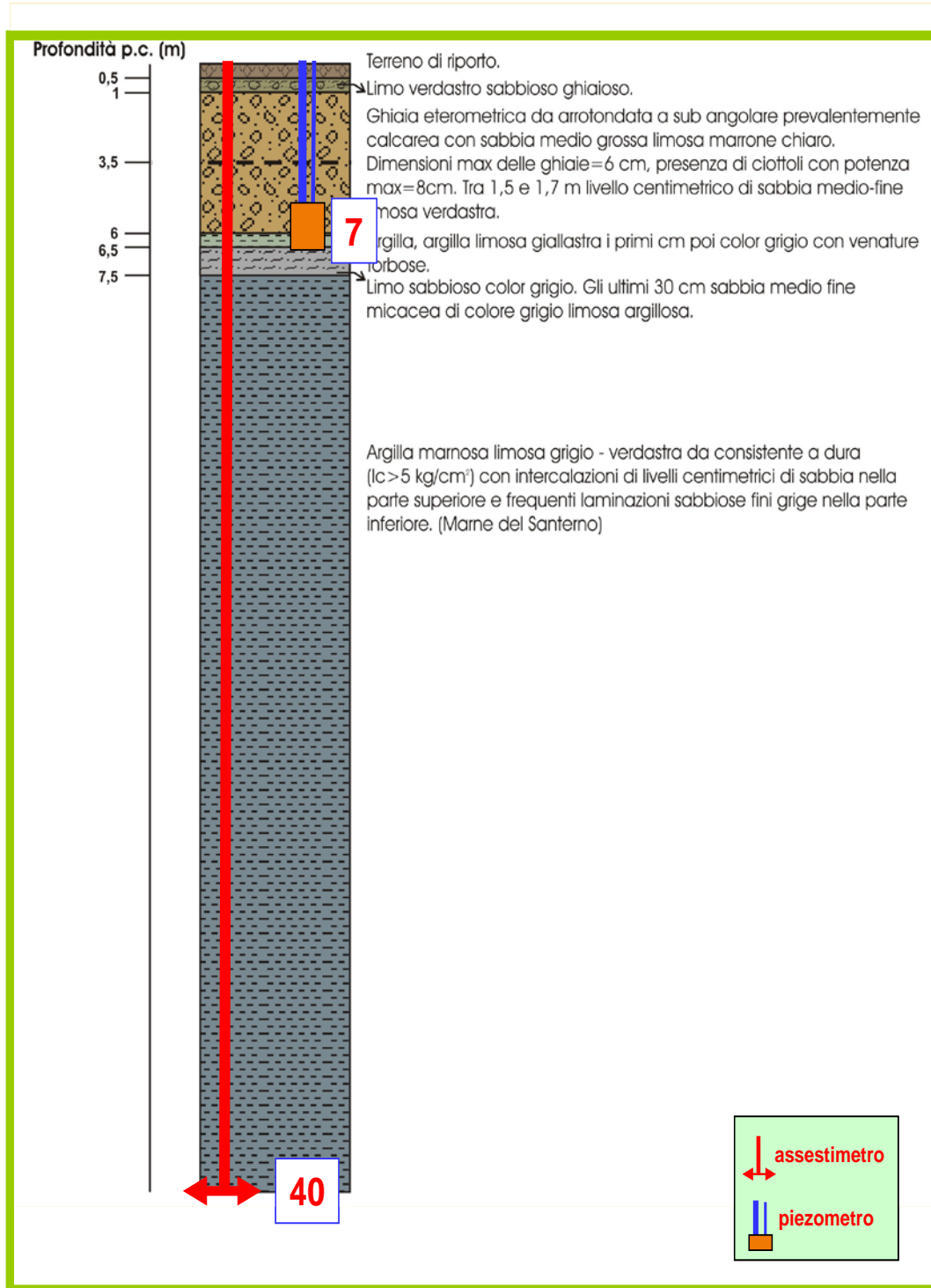
Nello stesso grafico dei dati assestimetrici si è riportata la piezometria.

Nel grafico del piezometro l'ordinata è la quota piezometrica (in m), ovvero la profondità del livello dell'acqua all'interno del tubo piezometrico riferita al piano campagna. Nello stesso grafico (come seconda ordinata) è riportato il valore della pressione barometrica.

L'installazione di due trasduttori di pressione, uno per ogni canna del piezometro Casagrande, rende possibile controllare il grado di affidabilità del piezometro stesso. In questo caso la differenza di misura tra i due sensori è risultata di circa ± 8 cm, il che rientra nella normale tolleranza dello strumento.

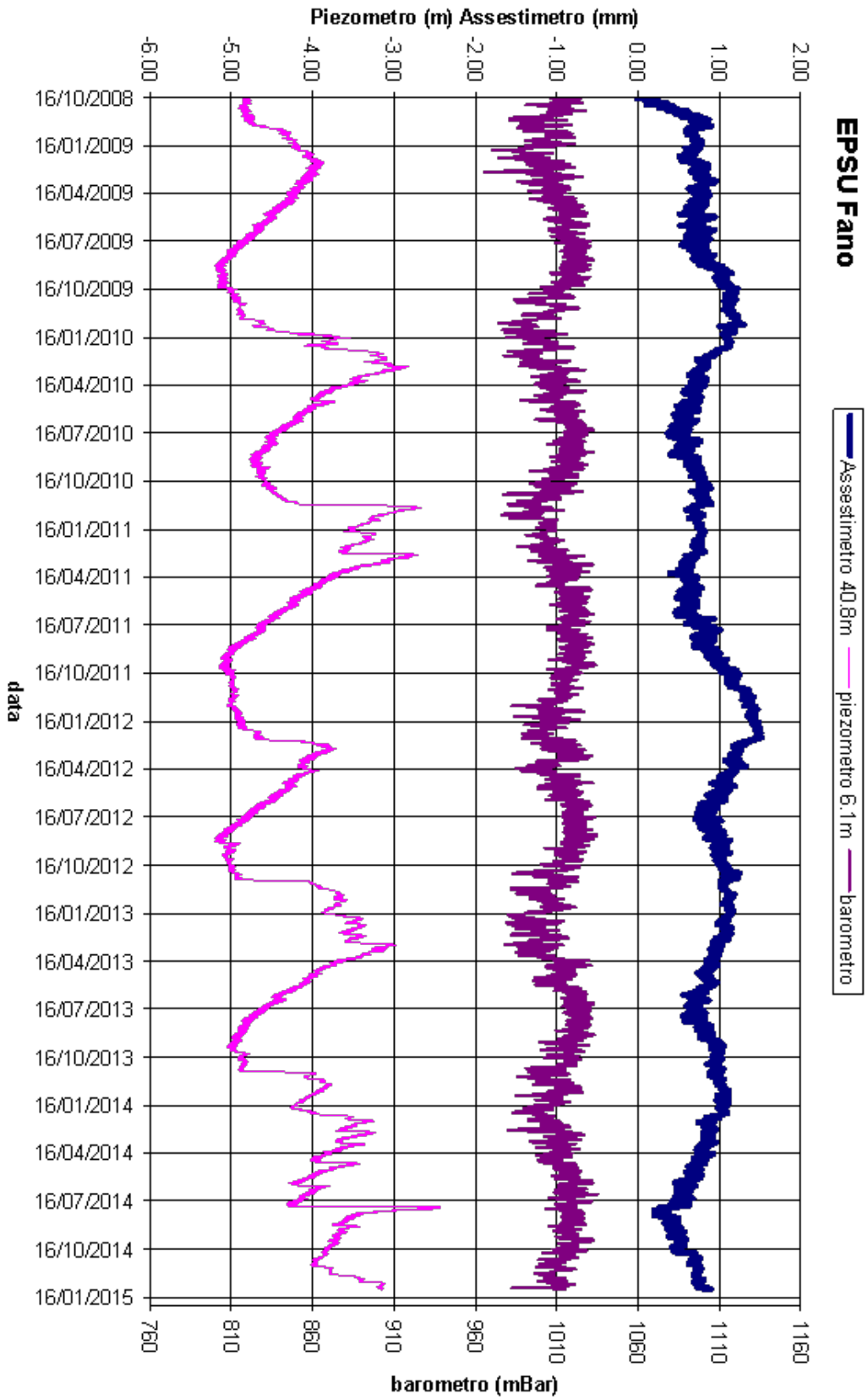
Negli ultimi 6 mesi di misure si deve segnalare un incremento di 1,8 m del livello dell'acqua in pochi giorni (25-26 luglio), fenomeno registrato su entrambi i tubi. Le ultime misure indicano una quota falda di circa -3 m da p.c.





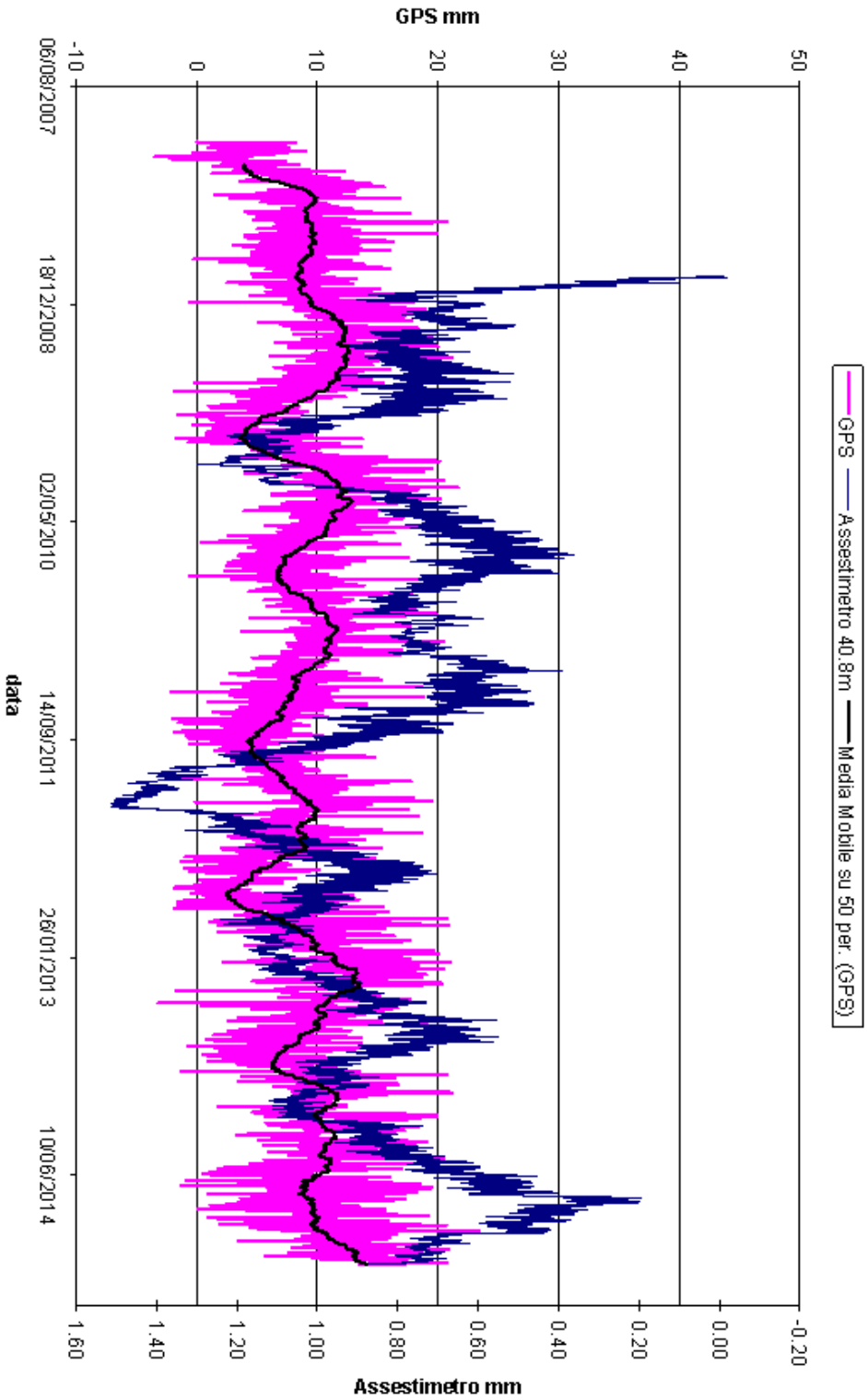


L'assestimento misura cedimenti del terreno rispetto all'ancoraggio profondo
valori positivi = abbassamento
valori negativi = sollevamento





FANO - Confronto GPS ed assestimetro superficiale



Nel grafico per meglio apprezzare le modulazioni della curva GPS questa è stata filtrata con una media mobile su 50 campioni. Per comodità la curva assestimetrica è stata graficata con i valori in ordine inverso, in modo da renderla coerente con le modulazioni del GPS (spostamenti delle curve verso l'alto indicano sollevamenti del terreno e viceversa)



Conclusioni

Dall'insieme dei dati sino ad ora raccolti nelle 3 stazioni EPSU si nota, in generale, una buona correlazione diretta tra l'andamento stagionale della piezometrica e la compattazione del terreno misurata dagli assestimetri.

Tale correlazione è più evidente nel caso di Falconara, dove il piezometro monitora le falde superficiali più sensibili a tutte le variazioni stagionali di piovosità.

Nel caso di Rubicone le variazioni stagionali sembrano essere monitorate solo dai 2 piezometri più superficiali, mentre quello più profondo registra solo deboli variazioni di livello della falda, temporalmente sfasate rispetto all'andamento stagionale delle falde superiori. L'assestimetro di questa stazione, essendo il più profondo delle 3 EPSU, è anche quello che mostra una tendenza crescente nell'insieme delle misure di compattazione, registrando complessivamente circa 14 mm di abbassamento totale del terreno in circa 6 anni scarsi di funzionamento.

Nel caso di Fano, il trend delle curve piezometrica e assestimetrica è maggiormente influenzato dalla litologia attraversata dai pozzi, litologia che rende meno evidente la correlazione tra andamento stagionale del livello della falda e misure assestimetriche. Infatti, mentre il piezometro monitora le variazioni di livello della falda in uno strato ghiaioso-sabbioso superficiale (max. profondità 6 m dal p.c.), l'assestimetro è ancorato alla base di uno strato argilloso spesso circa 32 m e scarsamente comprimibile: lo strumento, infatti, nei circa 6 anni di funzionamento ha misurato una compattazione complessiva quasi nulla (1 mm circa).

Nella tabella seguente sono riportati i valori medi della compattazione (positiva) o espansione (negativa) del terreno e delle relative velocità ottenute dalle misure assestimetriche disponibili dall'inizio del funzionamento della strumentazione sino alla data del 31 dicembre 2014.

Si segnala che per le stazioni di Fano e Falconara le misure assestimetriche sono risultate molto basse, e che nel periodo d'osservazione non è emerso un trend ben definito di compattazione del terreno. In questo caso le medie annuali non si possono considerare veramente significative.



Sito	Anni di osservazione	Assestimetro profondo		Assestimetro superficiale	
		Spostamento compl. (mm)	Velocità (mm/a)	Spostamento compl. (mm)	Velocità (mm/a)
RUBICONE	5,7	14	2,5	-	-
FANO	6,2	-	-	0,9	n.s.
FALCONARA	6,2	-	-	-0,4	n.s.

(n.s.= non significativa)